

FIG. 1

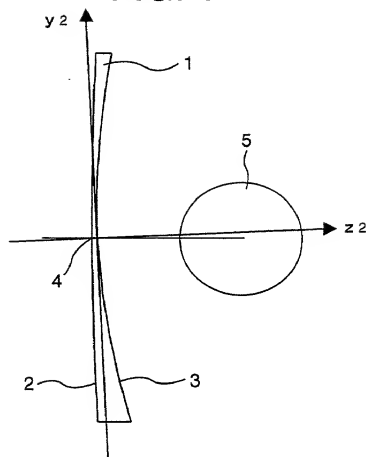


FIG. 2

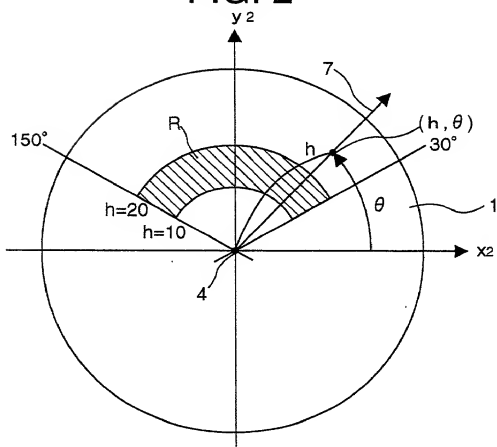


FIG. 3

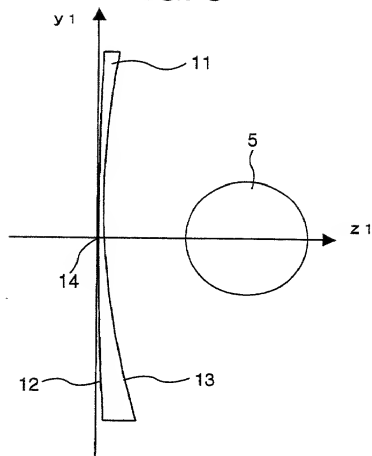


FIG. 4

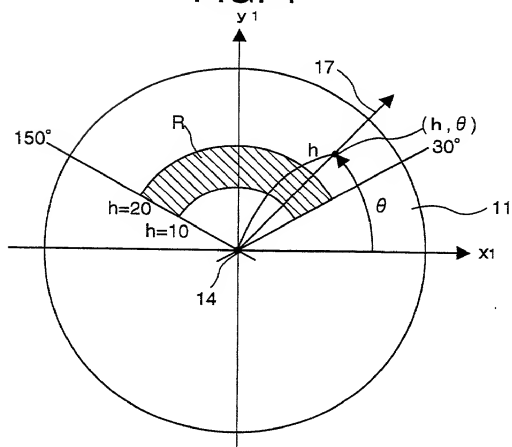


FIG. 5 A

$h \setminus \theta$	$C_1(h, \theta)$							
	0	45	90	135	180	225	270	315
0.0	1.35	1.35	1.35	1.35	1.35	1.35	1.35	1.35
5.0	1.35	1.35	1.35	1.35	1.35	1.35	1.35	1.35
10.0	1.35	1.35	1.35	1.35	1.35	1.35	1.35	1.35
15.0	1.35	1.35	1.35	1.35	1.35	1.35	1.35	1.35
20.0	1.35	1.35	1.35	1.35	1.35	1.35	1.35	1.35
25.0	1.35	1.35	1.35	1.35	1.35	1.35	1.35	1.35

FIG. 5 B

$h \setminus \theta$	$C_2(h, \theta)$							
	0	45	90	135	180	225	270	315
0.0	7.36	7.36	7.35	7.36	7.36	7.36	7.35	7.36
5.0	7.21	7.16	7.14	7.16	7.21	7.26	7.28	7.26
10.0	6.81	6.67	6.61	6.67	6.81	6.96	7.02	6.96
15.0	6.30	6.11	6.03	6.11	6.30	6.48	6.56	6.48
20.0	5.81	5.62	5.54	5.62	5.81	6.00	6.08	6.00
25.0	5.42	5.20	5.12	5.20	5.42	5.67	5.79	5.67

FIG. 6

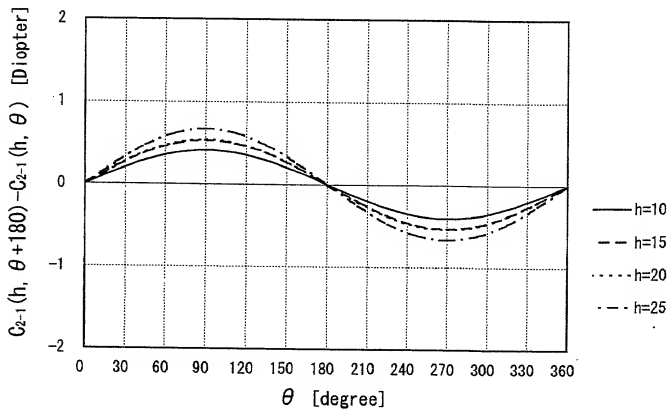


FIG. 7 A

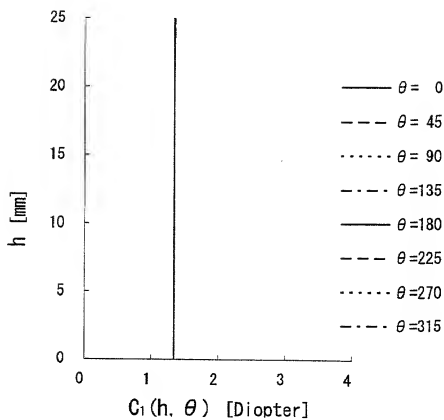


FIG. 7 B

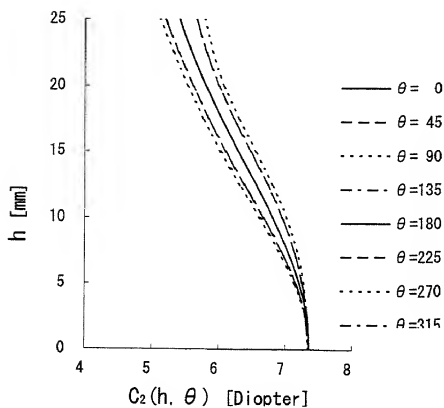


FIG. 8 A

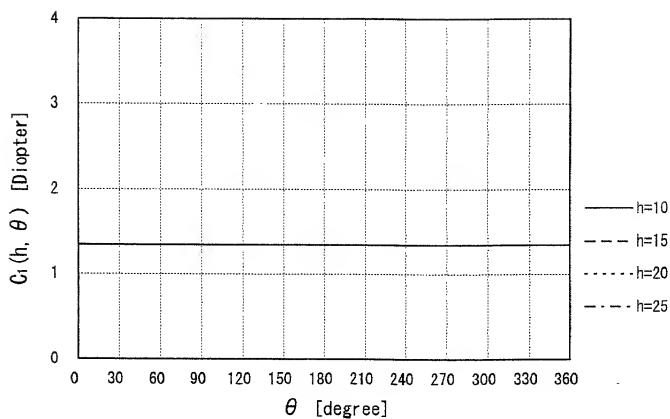


FIG. 8 B

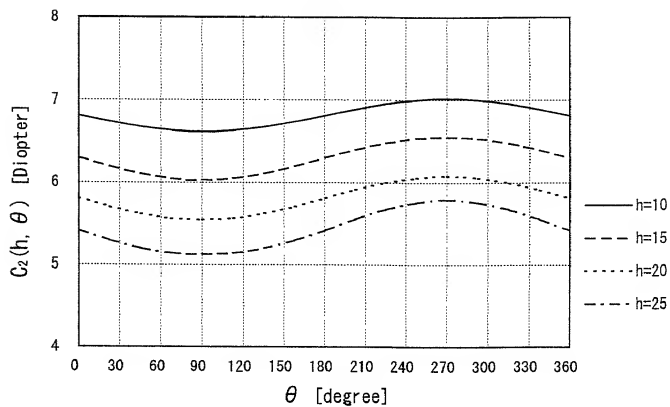


FIG. 9 A

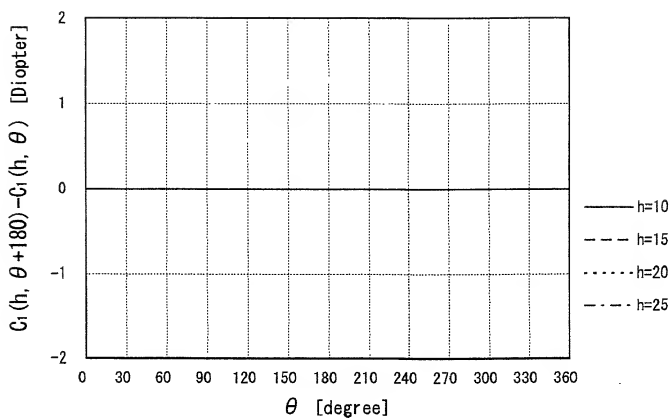


FIG. 9 B

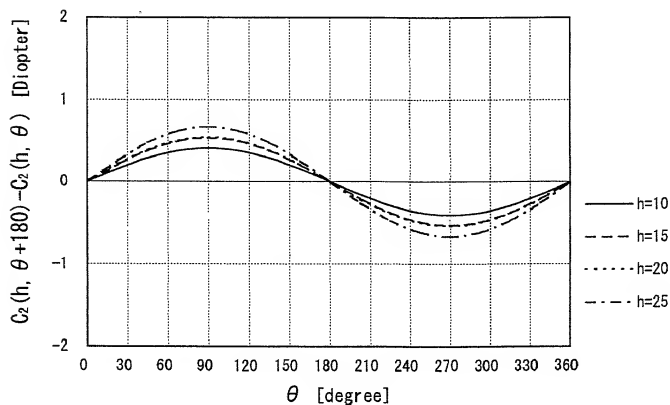


FIG. 10A

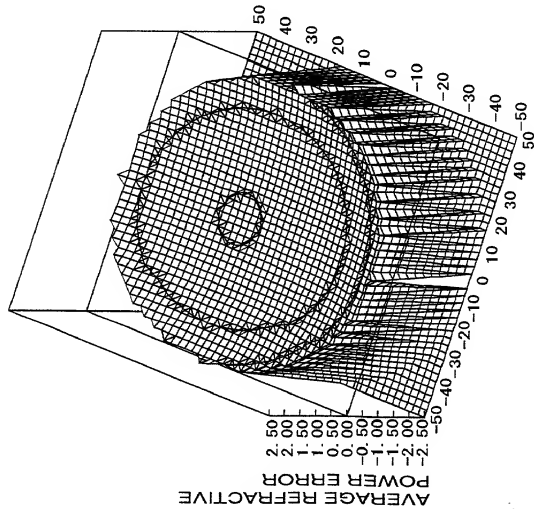


FIG. 10B

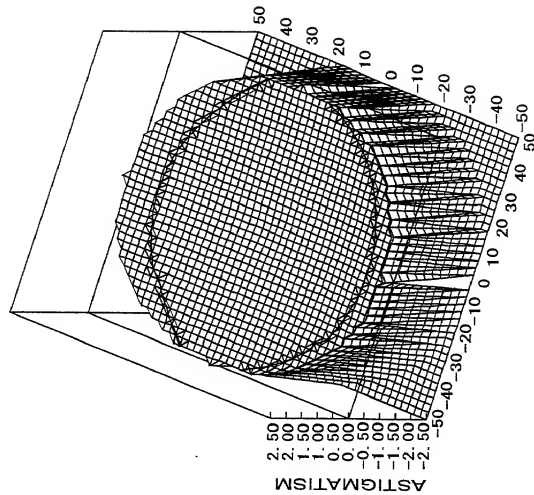


FIG. 11 A

		$C_1(h, \theta)$							
$h \backslash \theta$		0	45	90	135	180	225	270	315
0.0		2.44	2.45	2.45	2.45	2.44	2.45	2.45	2.45
5.0		2.56	2.61	2.64	2.61	2.56	2.51	2.49	2.51
10.0		2.84	3.01	3.08	3.01	2.84	2.69	2.62	2.69
15.0		3.16	3.42	3.53	3.42	3.16	2.92	2.83	2.92
20.0		3.39	3.68	3.80	3.68	3.39	3.13	3.03	3.13
25.0		3.48	3.78	3.91	3.78	3.48	3.19	3.07	3.19

FIG. 11 B

		$C_2(h, \theta)$							
$h \backslash \theta$		0	45	90	135	180	225	270	315
0.0		8.46	8.46	8.46	8.46	8.46	8.46	8.46	8.46
5.0		8.46	8.46	8.46	8.46	8.46	8.46	8.46	8.46
10.0		8.46	8.46	8.46	8.46	8.46	8.46	8.46	8.46
15.0		8.46	8.46	8.46	8.46	8.46	8.46	8.46	8.46
20.0		8.46	8.46	8.46	8.46	8.46	8.46	8.46	8.46
25.0		8.46	8.46	8.46	8.46	8.46	8.46	8.46	8.46

FIG. 12

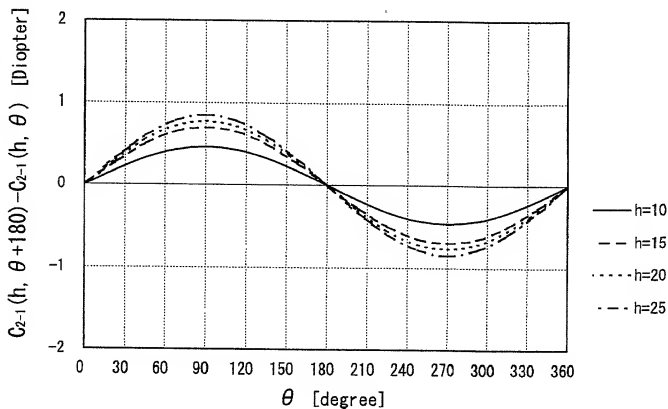


FIG. 13 A

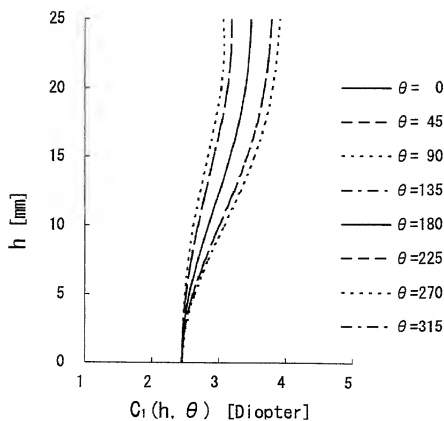


FIG. 13 B

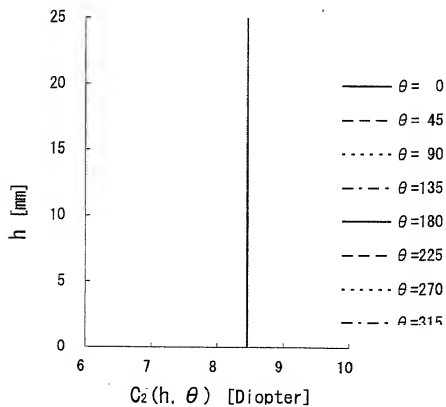


FIG. 14 A

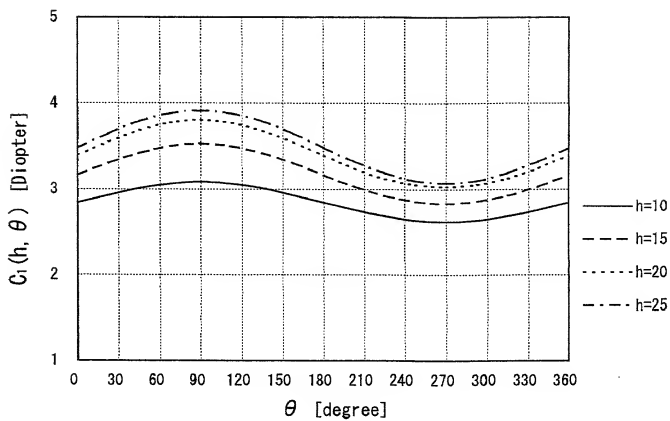


FIG. 14 B

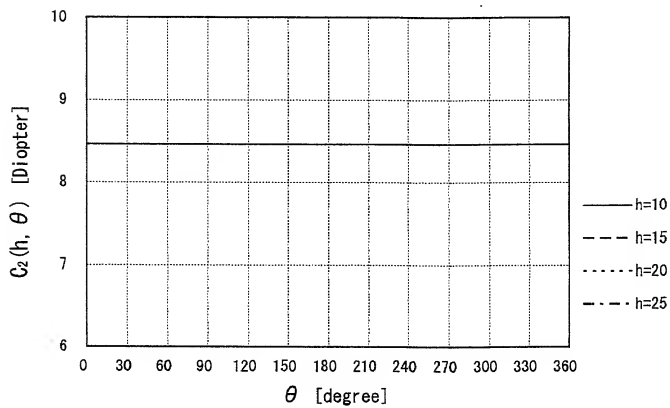


FIG. 15 A

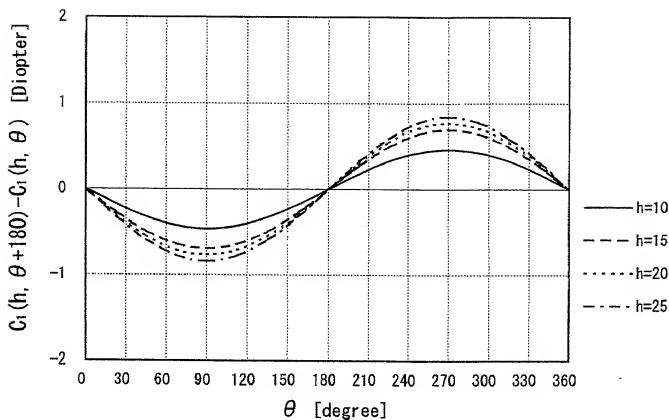


FIG. 15 B

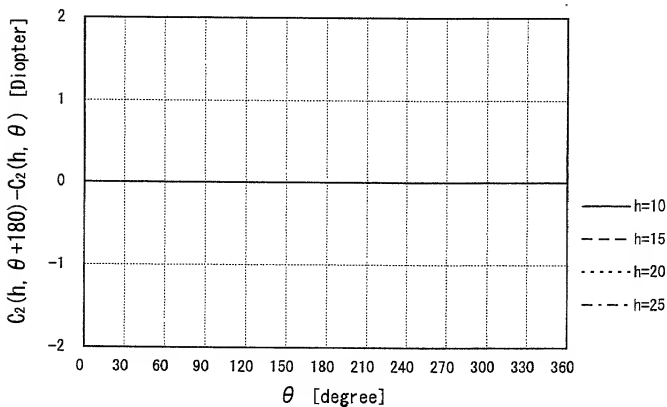


FIG. 16A

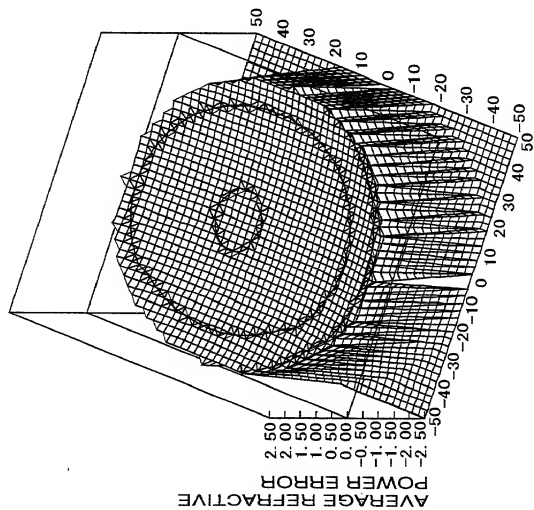


FIG. 16B

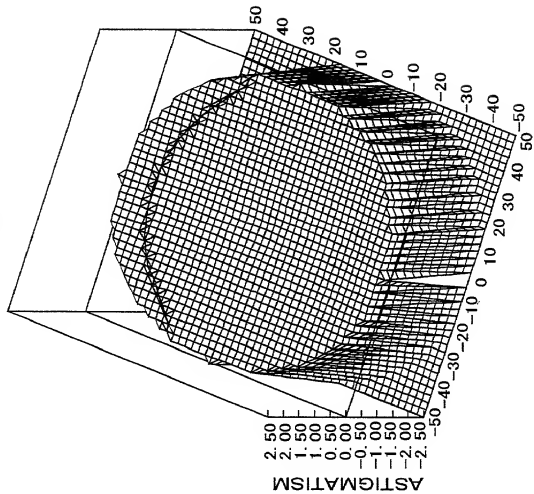


FIG. 17 A

		$C_1(h, \theta)$							
$h \setminus \theta$		0	45	90	135	180	225	270	315
0.0		2.44	2.44	2.44	2.44	2.44	2.44	2.44	2.44
5.0		2.54	2.54	2.54	2.54	2.54	2.54	2.54	2.54
10.0		2.79	2.79	2.79	2.79	2.79	2.79	2.79	2.79
15.0		3.09	3.09	3.09	3.09	3.09	3.09	3.09	3.09
20.0		3.34	3.34	3.34	3.34	3.34	3.34	3.34	3.34
25.0		3.46	3.46	3.46	3.46	3.46	3.46	3.46	3.46

FIG. 17 B

		$C_2(h, \theta)$							
$h \setminus \theta$		0	45	90	135	180	225	270	315
0.0		8.46	8.46	8.46	8.46	8.46	8.46	8.46	8.46
5.0		8.46	8.46	8.46	8.46	8.46	8.46	8.46	8.46
10.0		8.46	8.46	8.46	8.46	8.46	8.46	8.46	8.46
15.0		8.46	8.46	8.46	8.46	8.46	8.46	8.46	8.46
20.0		8.46	8.46	8.46	8.46	8.46	8.46	8.46	8.46
25.0		8.46	8.46	8.46	8.46	8.46	8.46	8.46	8.46

FIG. 18

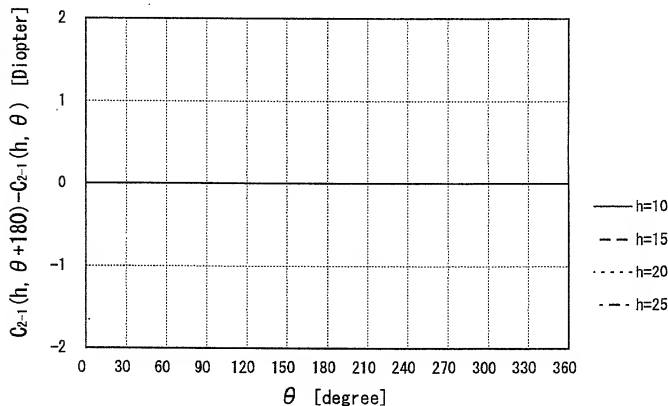


FIG. 19 A

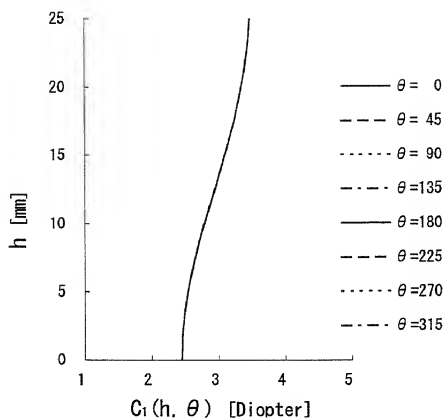


FIG. 19 B

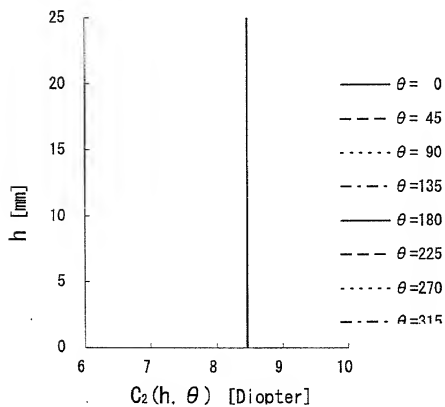


FIG. 20 A

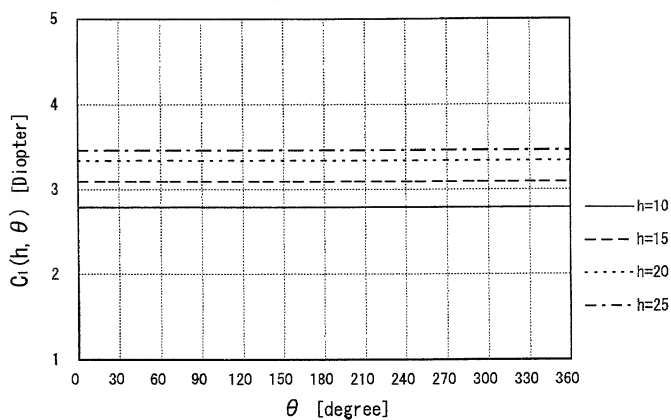


FIG. 20 B

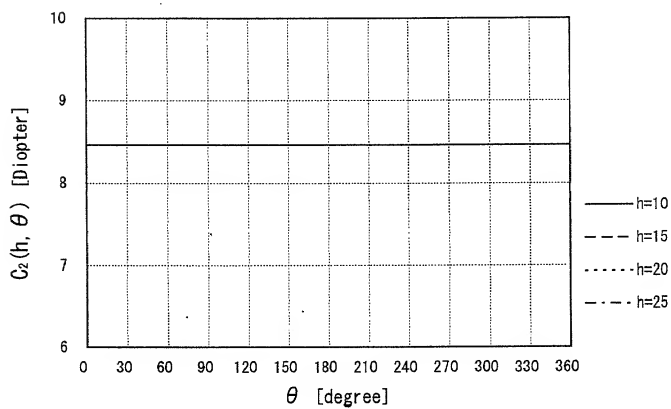


FIG. 21 A

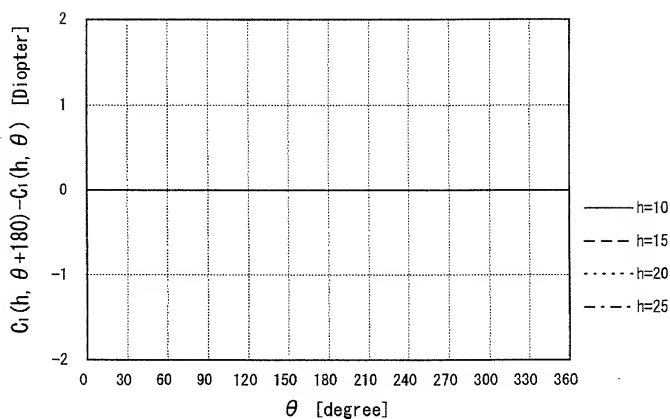


FIG. 21 B

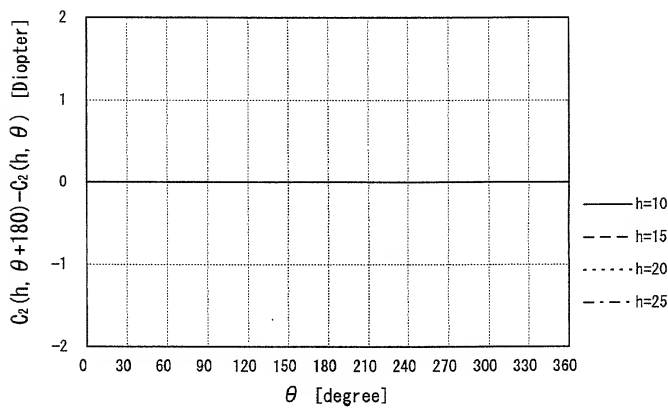


FIG. 22A

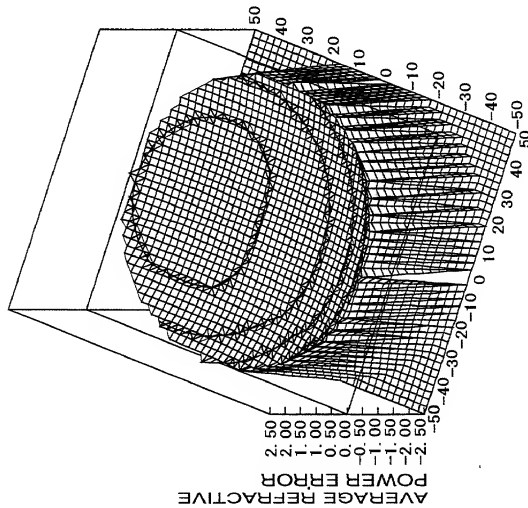


FIG. 22B

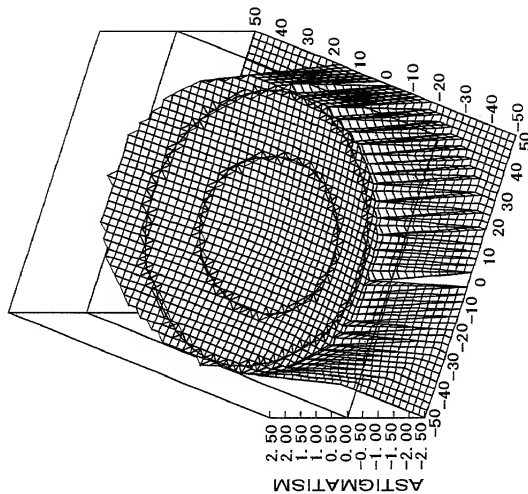


FIG. 23 A

$h \setminus \theta$	$C_1(h, \theta)$							
	0	45	90	135	180	225	270	315
0.0	1.35	1.35	1.35	1.35	1.35	1.35	1.35	1.35
5.0	1.35	1.35	1.35	1.35	1.35	1.35	1.35	1.35
10.0	1.35	1.35	1.35	1.35	1.35	1.35	1.35	1.35
15.0	1.35	1.35	1.35	1.35	1.35	1.35	1.35	1.35
20.0	1.35	1.35	1.35	1.35	1.35	1.35	1.35	1.35
25.0	1.35	1.35	1.35	1.35	1.35	1.35	1.35	1.35

FIG. 23 B

$h \setminus \theta$	$C_2(h, \theta)$							
	0	45	90	135	180	225	270	315
0.0	7.36	10.36	13.36	10.36	7.36	10.36	13.36	10.36
5.0	7.21	10.14	13.08	10.14	7.21	10.28	13.33	10.28
10.0	6.81	9.62	12.47	9.62	6.81	9.96	13.05	9.96
15.0	6.30	9.05	11.89	9.05	6.30	9.47	12.56	9.47
20.0	5.81	8.55	11.36	8.55	5.81	9.06	12.26	9.06
25.0	5.42	8.23	11.11	8.23	5.42	9.08	12.86	9.08

FIG. 24

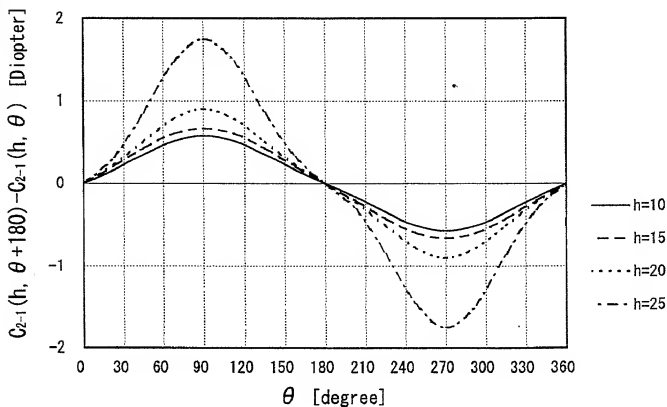


FIG. 25 A

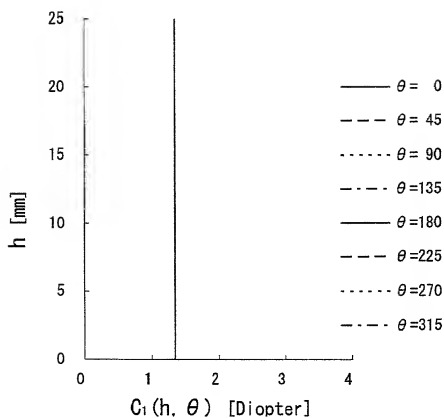


FIG. 25 B

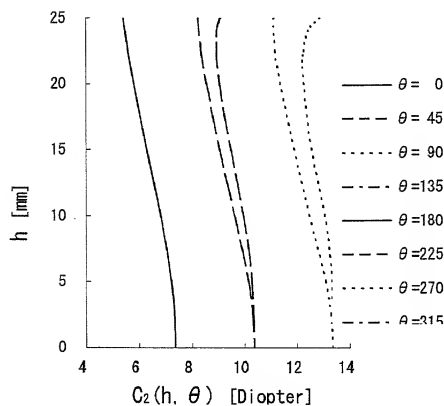


FIG. 26 A

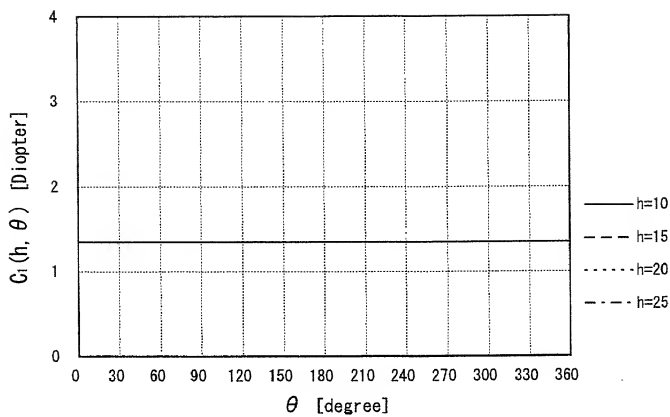


FIG. 26 B

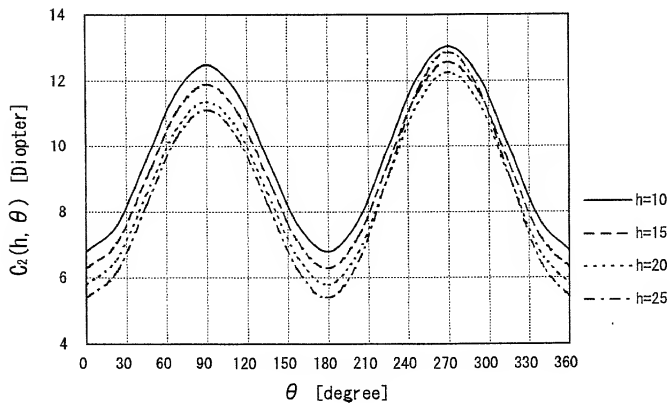


FIG. 27 A

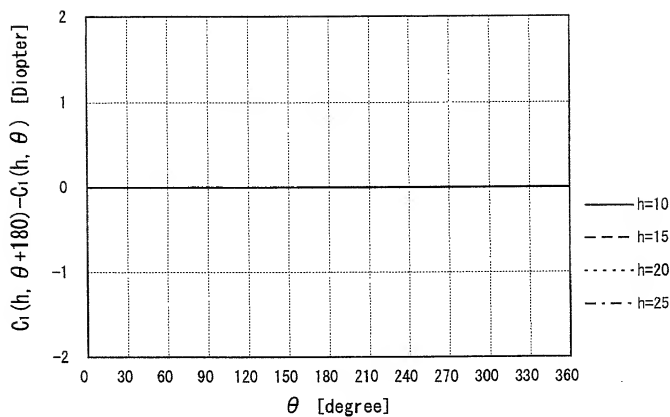


FIG. 27 B

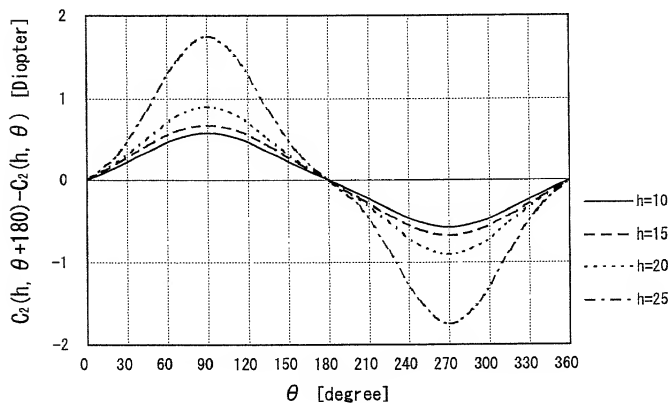


FIG. 28A

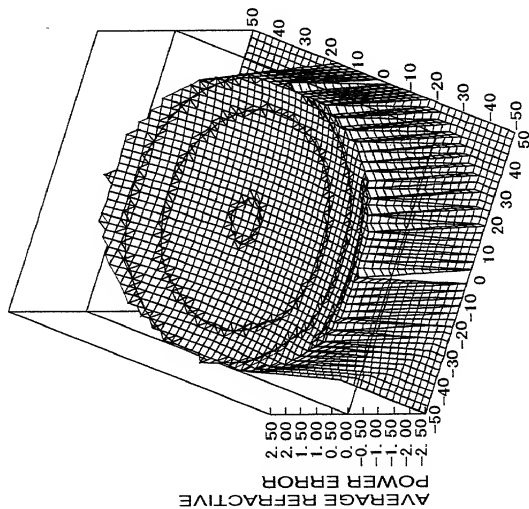


FIG. 28B

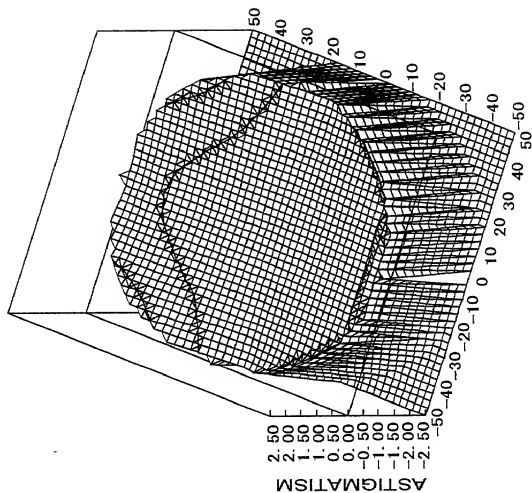


FIG. 29 A

		$C_1(h, \theta)$							
$h \setminus \theta$		0	45	90	135	180	225	270	315
0.0		2.44	2.45	2.46	2.45	2.44	2.45	2.46	2.45
5.0		2.56	2.64	2.68	2.64	2.56	2.50	2.46	2.50
10.0		2.84	3.06	3.10	3.06	2.84	2.67	2.51	2.67
15.0		3.16	3.43	3.37	3.43	3.16	2.90	2.65	2.90
20.0		3.39	3.59	3.37	3.59	3.39	3.04	2.65	3.04
25.0		3.48	3.57	3.22	3.57	3.48	2.95	2.38	2.95

FIG. 29 B

		$C_2(h, \theta)$							
$h \setminus \theta$		0	45	90	135	180	225	270	315
0.0		8.46	11.47	14.47	11.47	8.46	11.47	14.47	11.47
5.0		8.46	11.47	14.47	11.47	8.46	11.47	14.47	11.47
10.0		8.46	11.47	14.47	11.47	8.46	11.47	14.47	11.47
15.0		8.46	11.47	14.47	11.47	8.46	11.47	14.47	11.47
20.0		8.46	11.47	14.47	11.47	8.46	11.47	14.47	11.47
25.0		8.46	11.47	14.47	11.47	8.46	11.47	14.47	11.47

FIG. 30

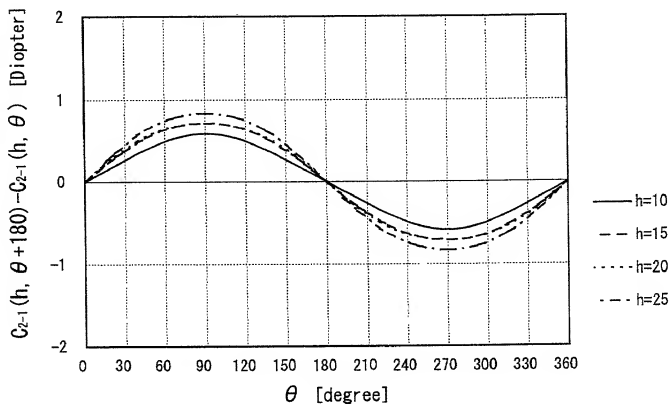


FIG. 31 A

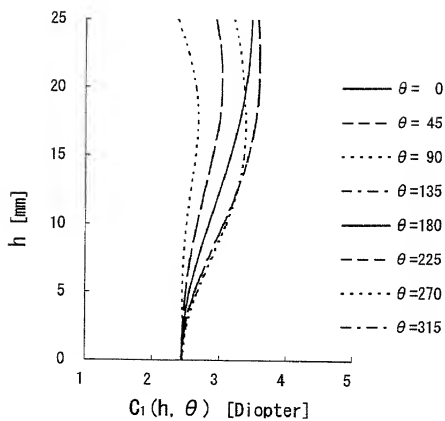


FIG. 31 B

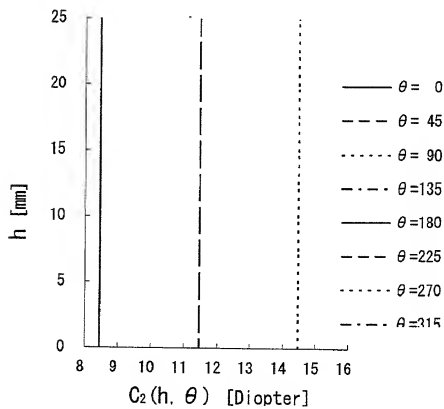


FIG. 32 A

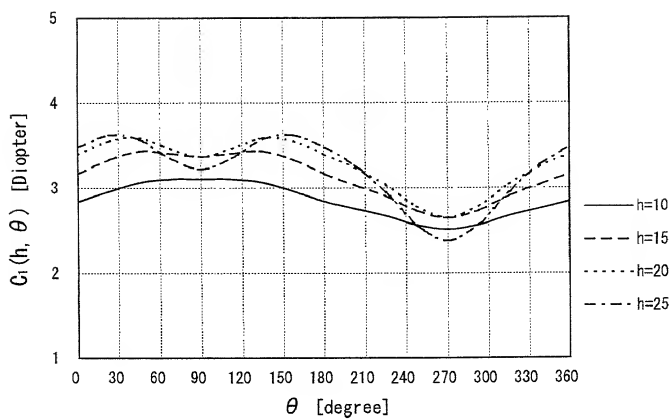


FIG. 32 B

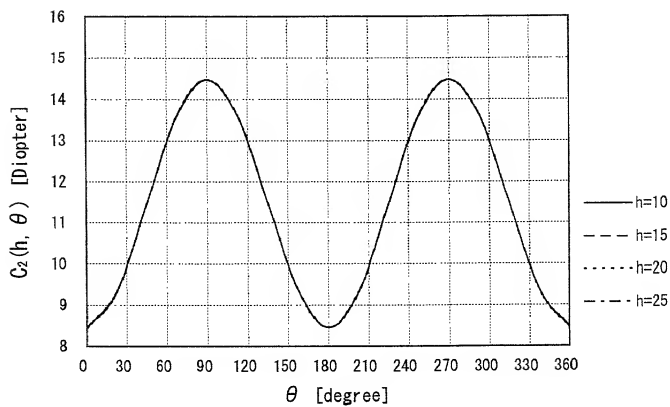


FIG. 33 A

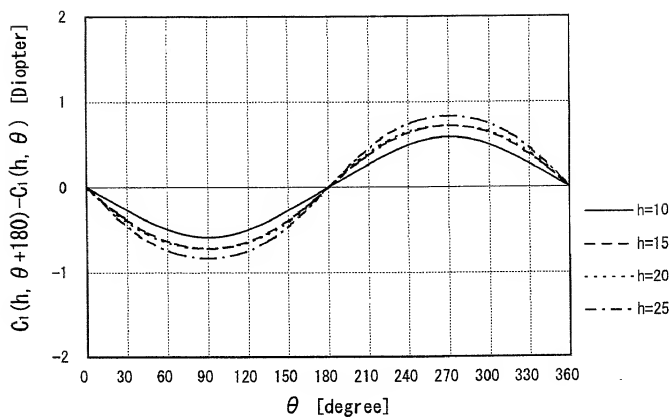


FIG. 33 B

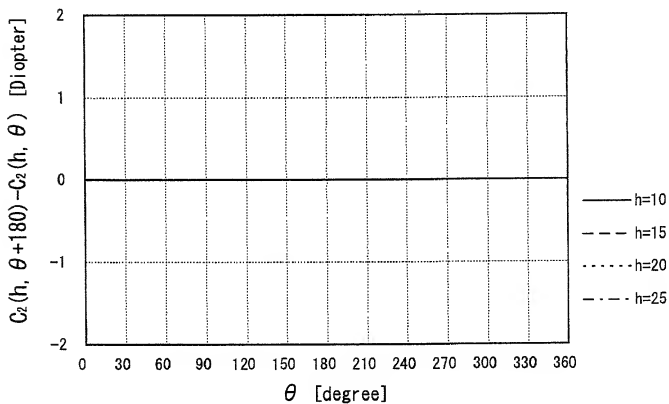


FIG. 34A

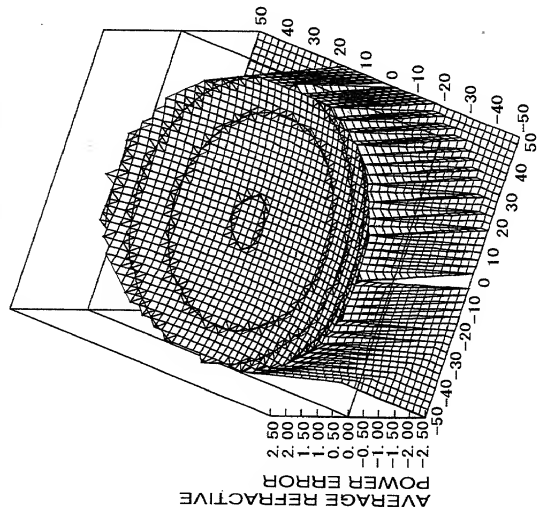


FIG. 34B

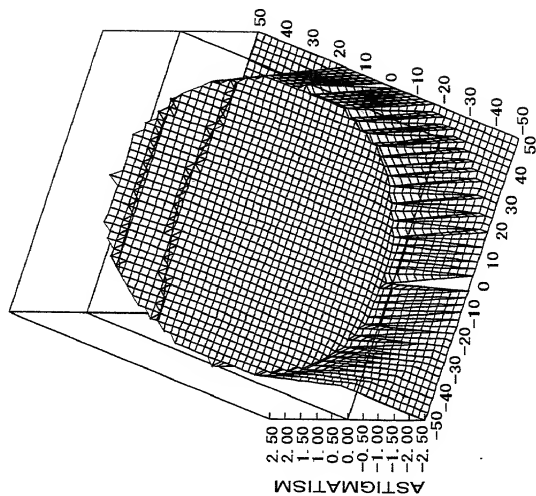


FIG. 35 A

		$C_1(h, \theta)$							
$h \backslash \theta$		0	45	90	135	180	225	270	315
0.0		2.44	2.44	2.44	2.44	2.44	2.44	2.44	2.44
5.0		2.54	2.54	2.54	2.54	2.54	2.54	2.54	2.54
10.0		2.79	2.79	2.79	2.79	2.79	2.79	2.79	2.79
15.0		3.09	3.09	3.09	3.09	3.09	3.09	3.09	3.09
20.0		3.34	3.34	3.34	3.34	3.34	3.34	3.34	3.34
25.0		3.46	3.46	3.46	3.46	3.46	3.46	3.46	3.46

FIG. 35 B

		$C_2(h, \theta)$							
$h \backslash \theta$		0	45	90	135	180	225	270	315
0.0		8.46	11.47	14.47	11.47	8.46	11.47	14.47	11.47
5.0		8.46	11.46	14.47	11.46	8.46	11.46	14.47	11.46
10.0		8.46	11.45	14.47	11.45	8.46	11.45	14.47	11.45
15.0		8.46	11.44	14.47	11.44	8.46	11.44	14.47	11.44
20.0		8.46	11.42	14.47	11.42	8.46	11.42	14.47	11.42
25.0		8.46	11.39	14.47	11.39	8.46	11.39	14.47	11.39

FIG. 36

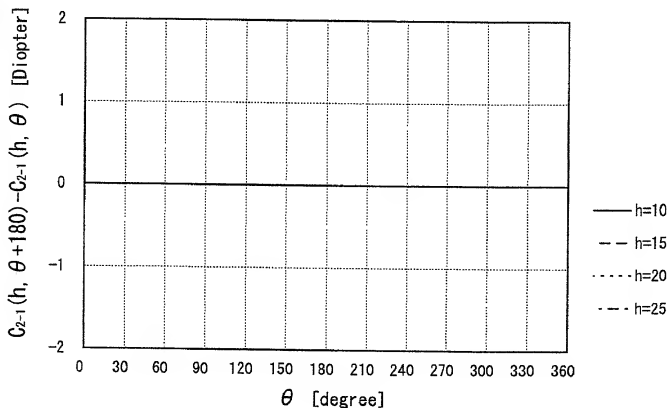


FIG. 37 A

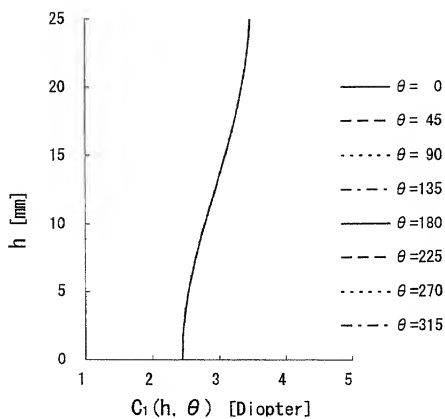


FIG. 37 B

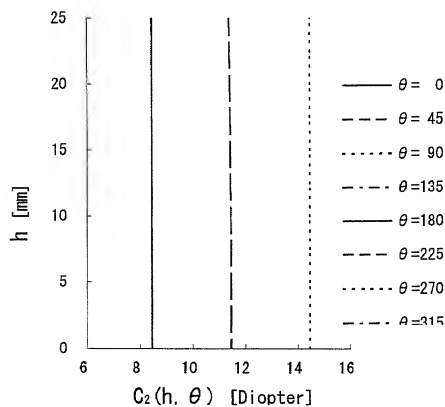


FIG. 38 A

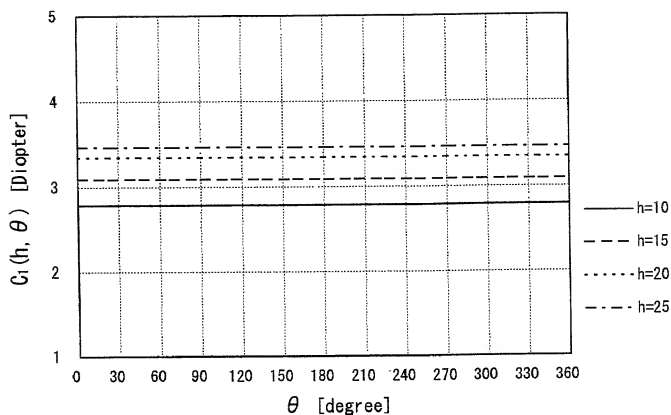


FIG. 38 B

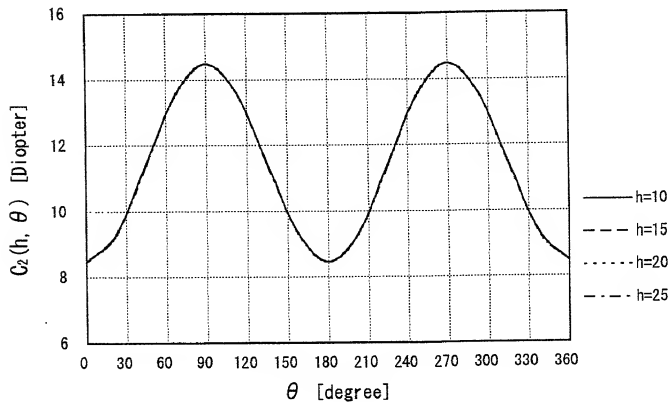


FIG. 39 A

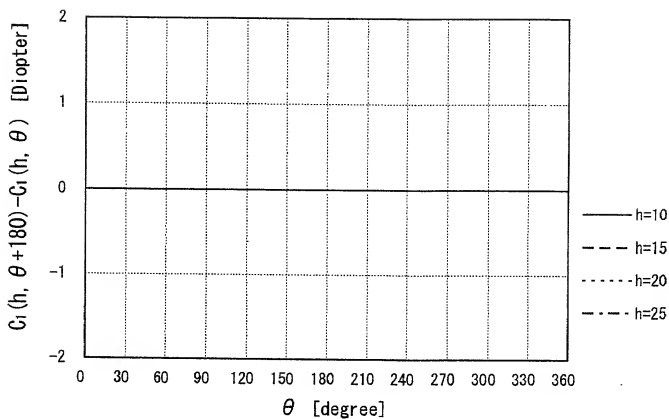


FIG. 39 B

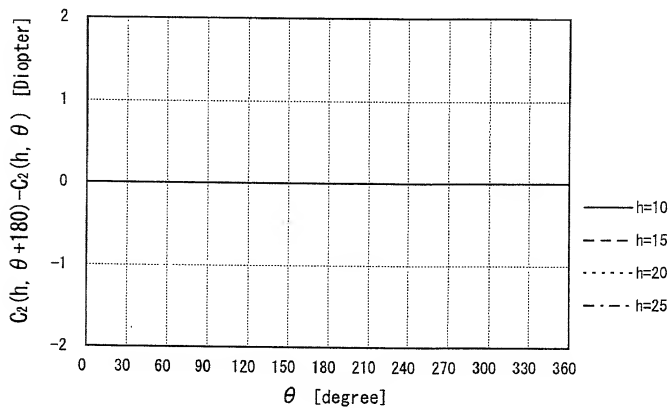


FIG. 40A

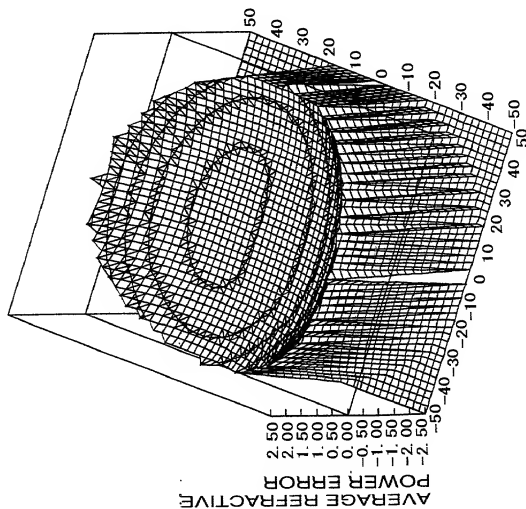


FIG. 40B

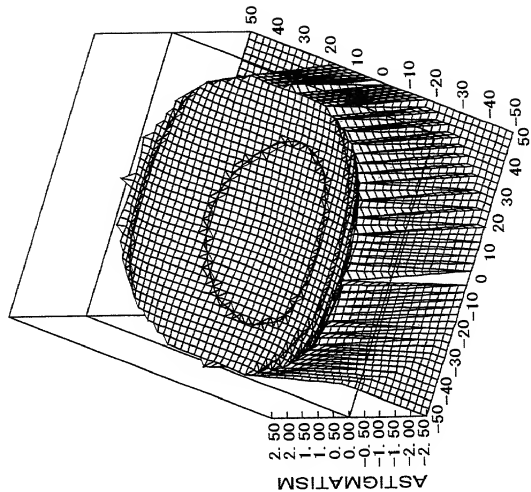


FIG. 41 A

		$C_1(h, \theta)$							
$h \backslash \theta$		0	45	90	135	180	225	270	315
0.0		0.68	0.68	0.68	0.68	0.68	0.68	0.68	0.68
5.0		0.68	0.68	0.68	0.68	0.68	0.68	0.68	0.68
10.0		0.68	0.68	0.68	0.68	0.68	0.68	0.68	0.68
15.0		0.68	0.68	0.68	0.68	0.68	0.68	0.68	0.68
20.0		0.68	0.68	0.68	0.68	0.68	0.68	0.68	0.68
25.0		0.68	0.68	0.68	0.68	0.68	0.68	0.68	0.68

FIG. 41 B

		$C_2(h, \theta)$							
$h \backslash \theta$		0	45	90	135	180	225	270	315
0.0		12.71	12.70	12.69	12.70	12.71	12.70	12.69	12.70
5.0		12.51	12.42	12.39	12.42	12.51	12.59	12.62	12.59
10.0		11.99	11.79	11.71	11.79	11.99	12.17	12.24	12.17
15.0		11.30	11.09	11.00	11.09	11.30	11.49	11.57	11.49
20.0		10.62	10.38	10.29	10.38	10.62	10.87	10.98	10.87
25.0		10.19	9.85	9.75	9.85	10.19	10.68	10.92	10.68

FIG. 42

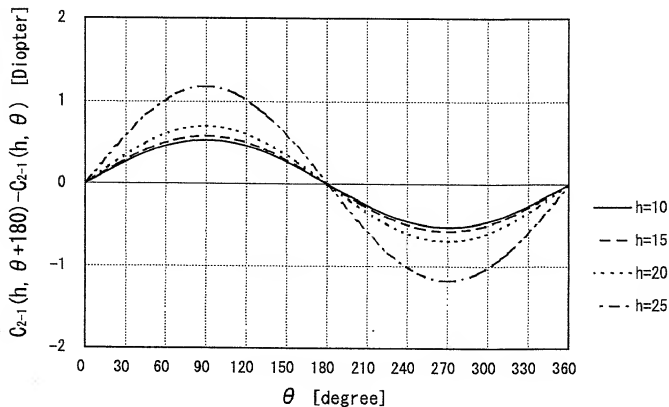


FIG. 43 A

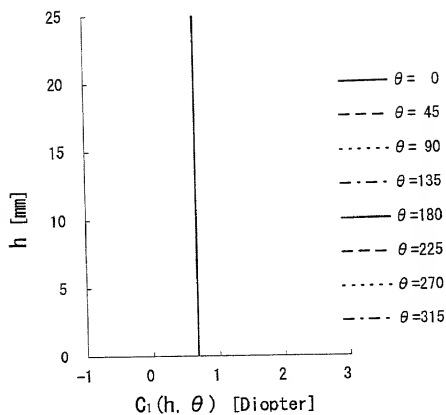


FIG. 43 B

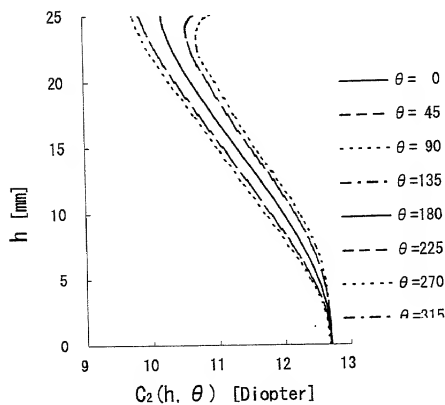


FIG. 44 A

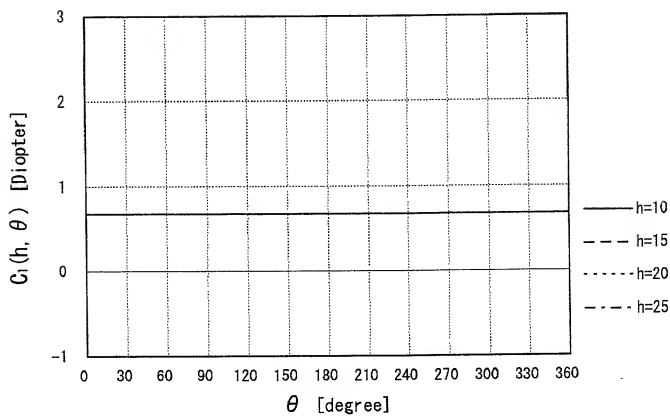


FIG. 44 B

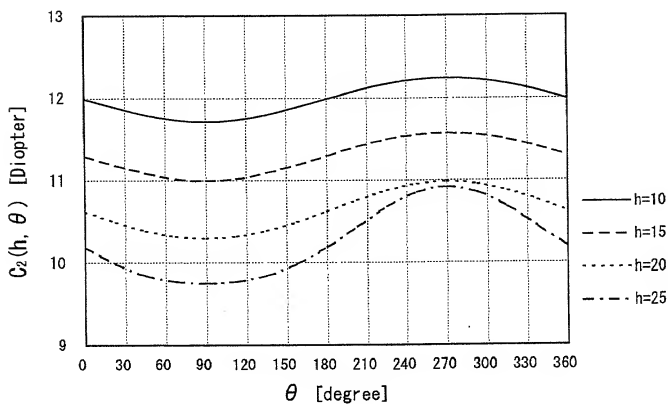


FIG. 45 A

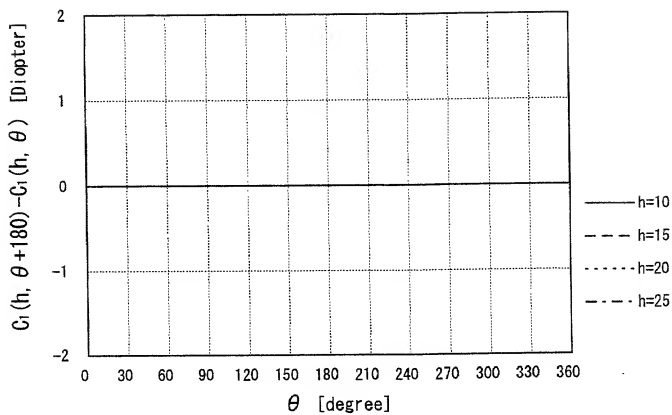


FIG. 45 B

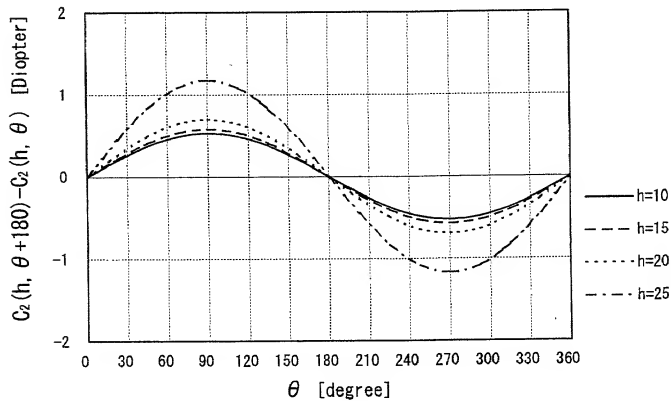


FIG. 46A

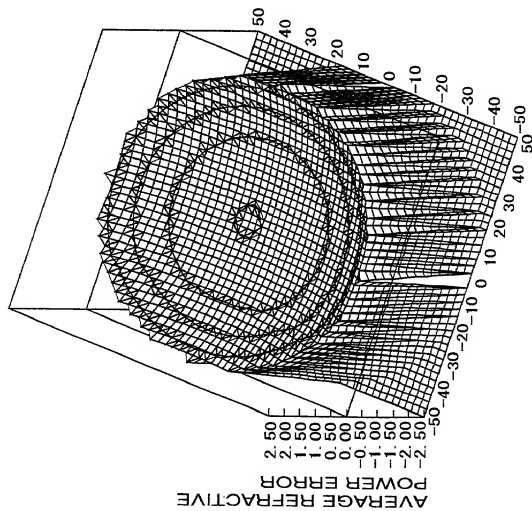


FIG. 46B

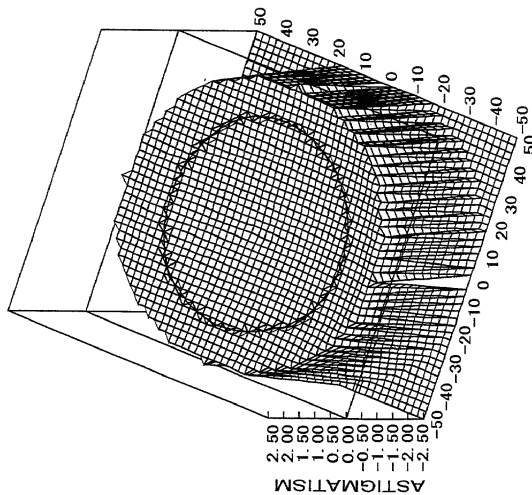


FIG. 47 A

$h \backslash \theta$		$C_1(h, \theta)$							
		0	45	90	135	180	225	270	315
0.0		1.73	1.73	1.73	1.73	1.73	1.73	1.73	1.73
5.0		1.67	1.67	1.67	1.67	1.67	1.67	1.67	1.67
10.0		1.49	1.49	1.49	1.49	1.49	1.49	1.49	1.49
15.0		1.19	1.19	1.19	1.19	1.19	1.19	1.19	1.19
20.0		0.77	0.77	0.77	0.77	0.77	0.77	0.77	0.77
25.0		0.23	0.23	0.23	0.23	0.23	0.23	0.23	0.23

FIG. 47 B

$h \backslash \theta$		$C_2(h, \theta)$							
		0	45	90	135	180	225	270	315
0.0		13.76	13.75	13.74	13.75	13.76	13.75	13.74	13.75
5.0		13.54	13.45	13.40	13.45	13.54	13.62	13.66	13.62
10.0		12.92	12.71	12.62	12.71	12.92	13.12	13.19	13.12
15.0		11.96	11.75	11.66	11.75	11.96	12.15	12.23	12.15
20.0		10.62	10.45	10.38	10.45	10.62	10.80	10.87	10.80
25.0		8.63	8.65	8.63	8.65	8.63	8.56	8.72	8.56

FIG. 48

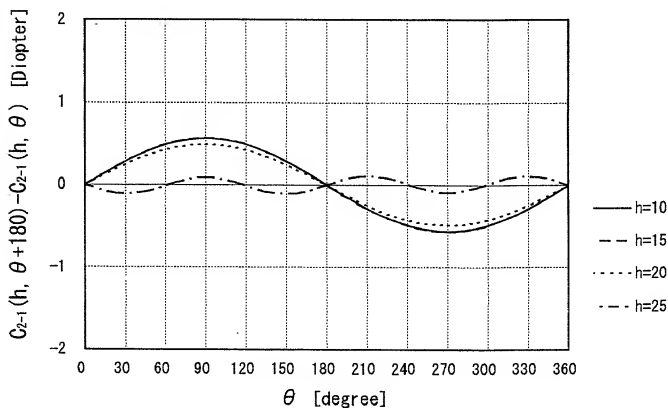


FIG. 49 A

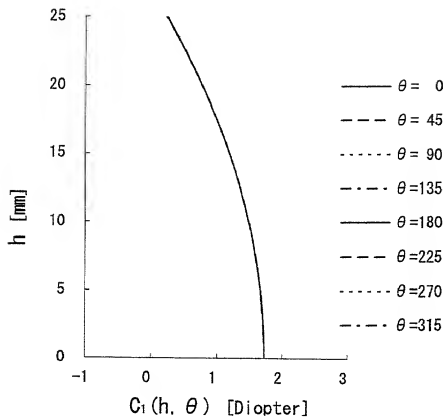


FIG. 49 B

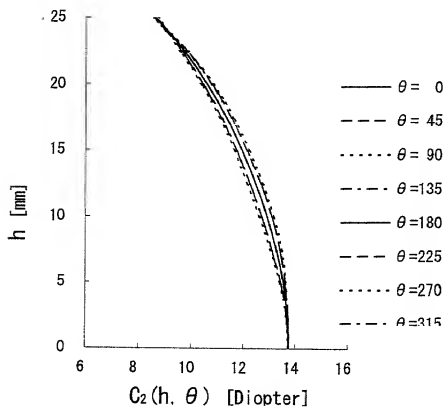


FIG. 50 A

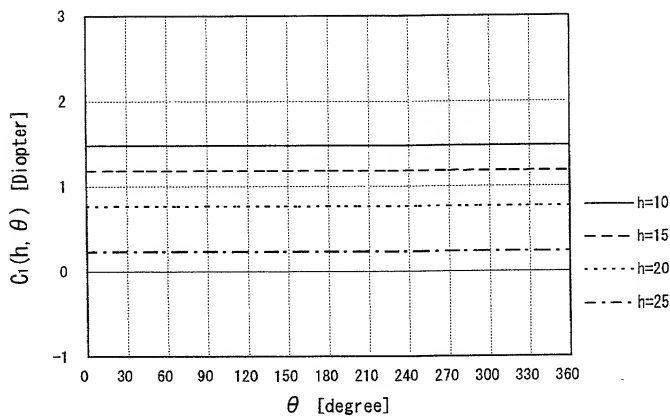


FIG. 50 B

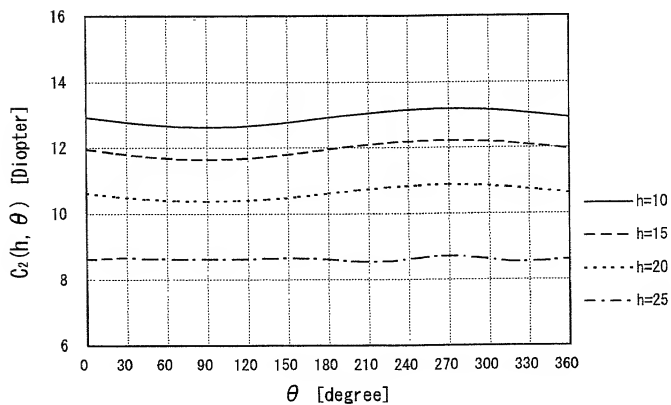


FIG. 51 A

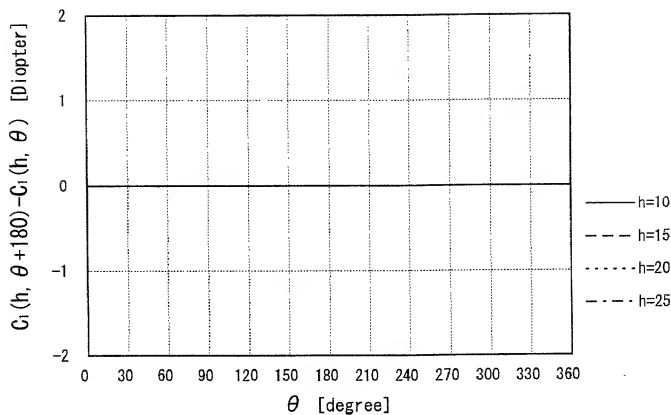


FIG. 51 B

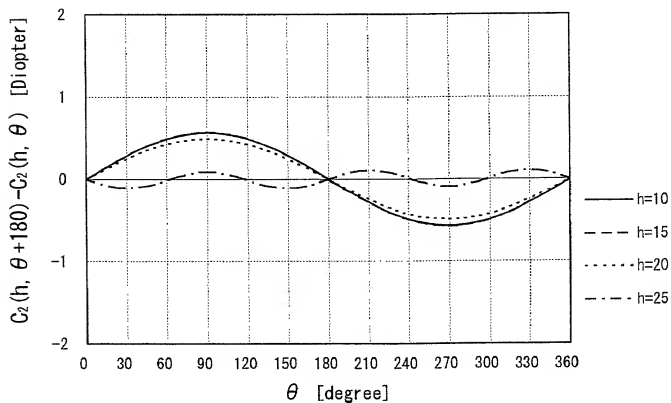


FIG. 52A

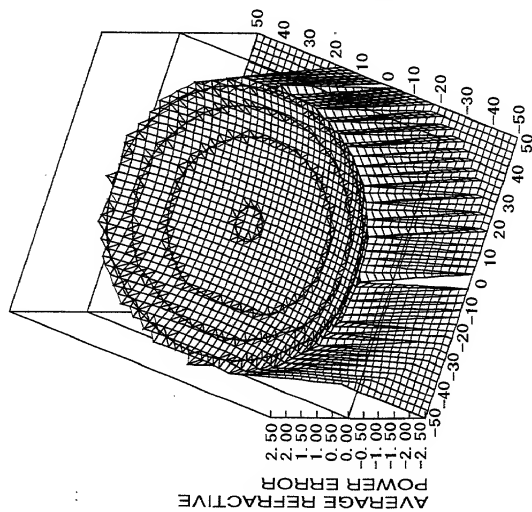


FIG. 52B

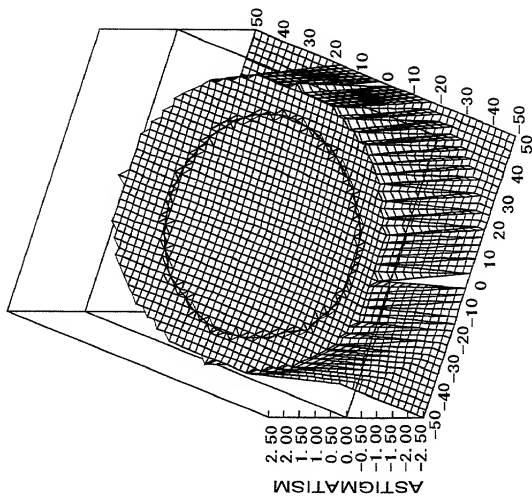


FIG. 53 A

		$C_1(h, \theta)$							
$h \setminus \theta$		0	45	90	135	180	225	270	315
0.0		1.73	1.73	1.73	1.73	1.73	1.73	1.73	1.73
5.0		1.81	1.81	1.81	1.81	1.81	1.81	1.81	1.81
10.0		2.04	2.04	2.04	2.04	2.04	2.04	2.04	2.04
15.0		2.33	2.33	2.33	2.33	2.33	2.33	2.33	2.33
20.0		2.59	2.59	2.59	2.59	2.59	2.59	2.59	2.59
25.0		2.77	2.77	2.77	2.77	2.77	2.77	2.77	2.77

FIG. 53 B

		$C_2(h, \theta)$							
$h \setminus \theta$		0	45	90	135	180	225	270	315
0.0		13.76	13.76	13.76	13.76	13.76	13.76	13.76	13.76
5.0		13.76	13.76	13.76	13.76	13.76	13.76	13.76	13.76
10.0		13.76	13.76	13.76	13.76	13.76	13.76	13.76	13.76
15.0		13.76	13.76	13.76	13.76	13.76	13.76	13.76	13.76
20.0		13.76	13.76	13.76	13.76	13.76	13.76	13.76	13.76
25.0		13.76	13.76	13.76	13.76	13.76	13.76	13.76	13.76

FIG. 54

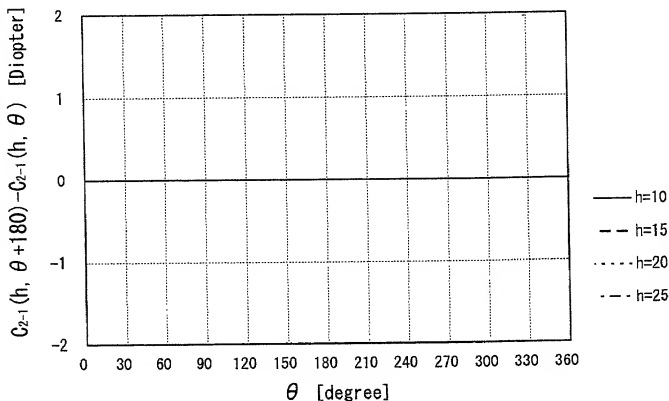


FIG. 55 A

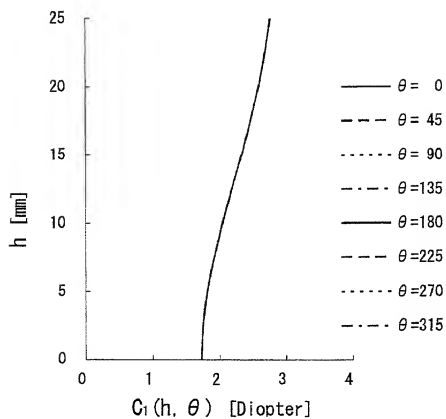


FIG. 55 B

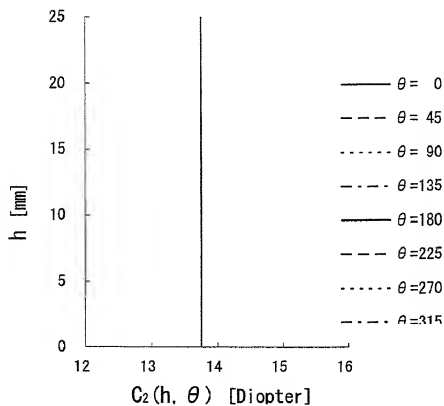


FIG. 56 A

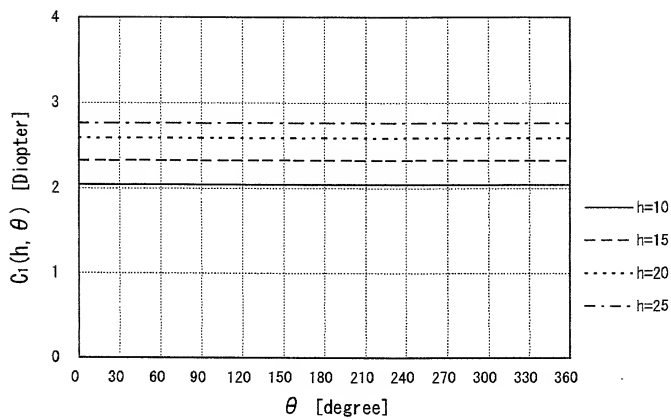


FIG. 56 B

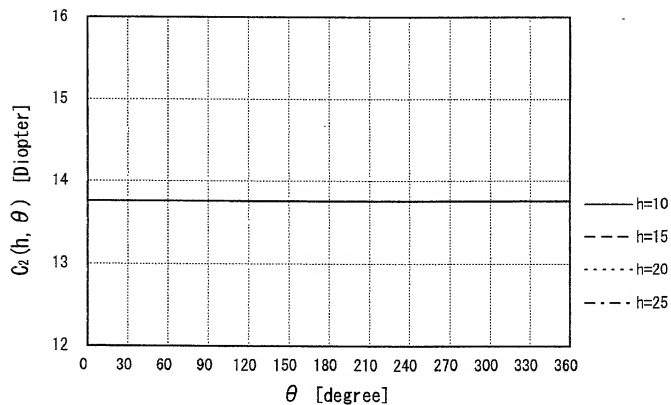


FIG. 57 A

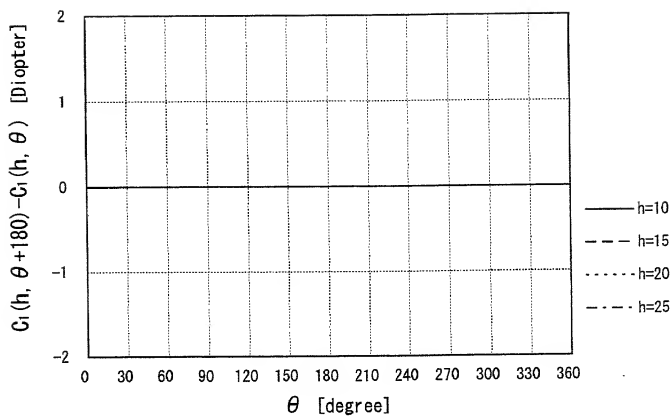


FIG. 57 B

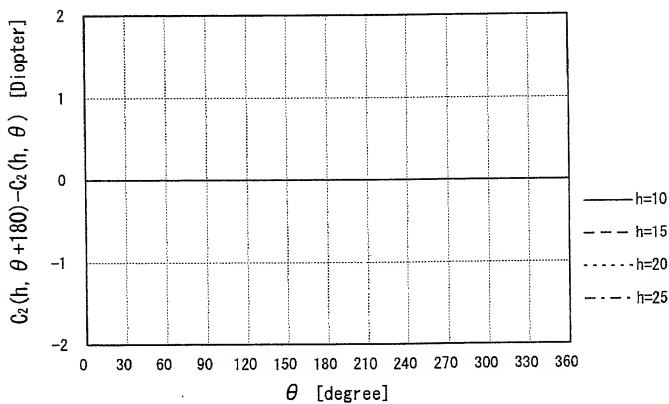


FIG. 58A

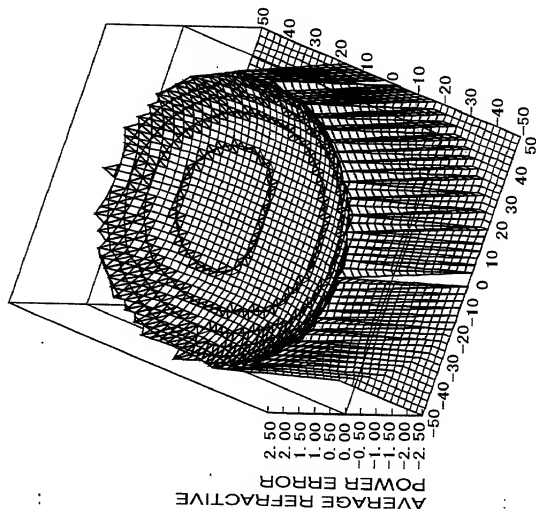


FIG. 58B

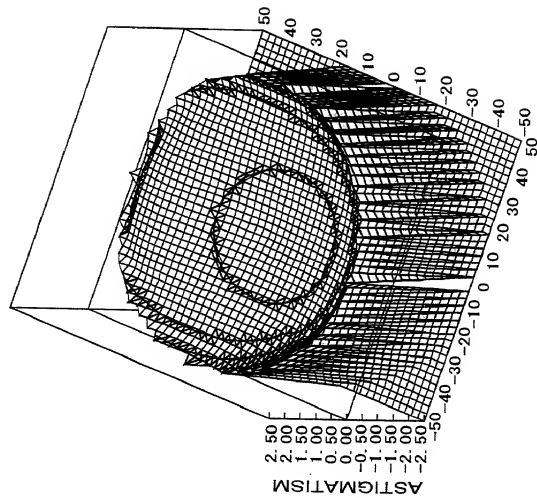


FIG. 59 A

		$C_1(h, \theta)$							
$h \setminus \theta$		0	45	90	135	180	225	270	315
0.0		0.68	0.68	0.68	0.68	0.68	0.68	0.68	0.68
5.0		0.68	0.68	0.68	0.68	0.68	0.68	0.68	0.68
10.0		0.68	0.68	0.68	0.68	0.68	0.68	0.68	0.68
15.0		0.68	0.68	0.68	0.68	0.68	0.68	0.68	0.68
20.0		0.68	0.68	0.68	0.68	0.68	0.68	0.68	0.68
25.0		0.68	0.68	0.68	0.68	0.68	0.68	0.68	0.68

FIG. 59 B

		$C_2(h, \theta)$							
$h \setminus \theta$		0	45	90	135	180	225	270	315
0.0		18.72	15.70	12.69	15.70	18.72	15.70	12.69	15.70
5.0		18.60	15.46	12.39	15.46	18.60	15.63	12.62	15.63
10.0		18.26	14.94	11.71	14.94	18.26	15.29	12.24	15.29
15.0		17.88	14.38	11.00	14.38	17.88	14.78	11.57	14.78
20.0		17.72	13.92	10.29	13.92	17.72	14.45	10.98	14.45
25.0		18.68	13.59	9.75	13.59	18.68	16.00	10.92	16.00

FIG. 60

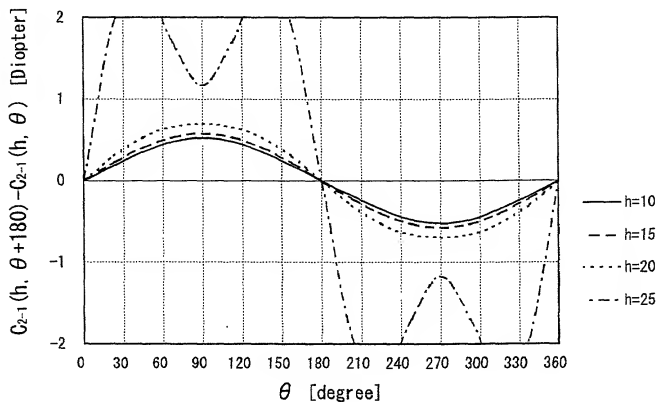


FIG. 61 A

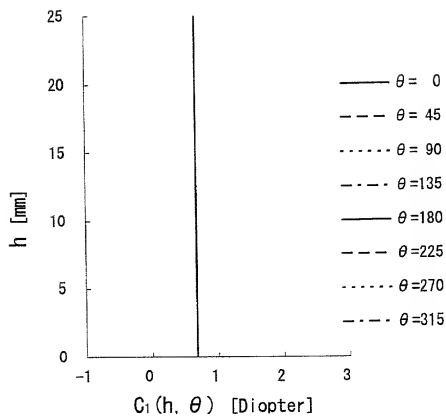


FIG. 61 B

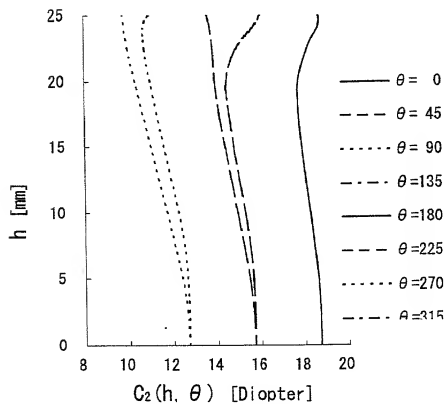


FIG. 62 A

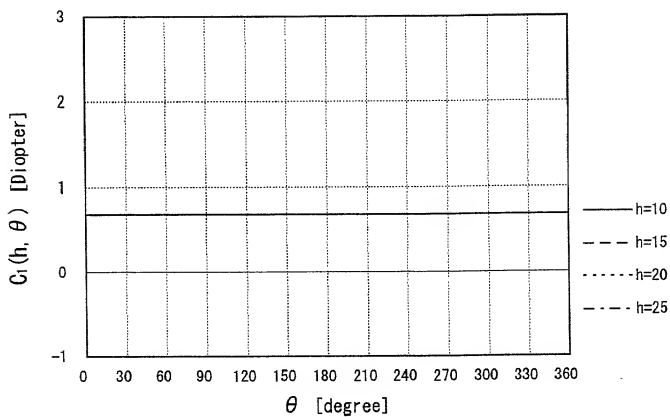


FIG. 62 B

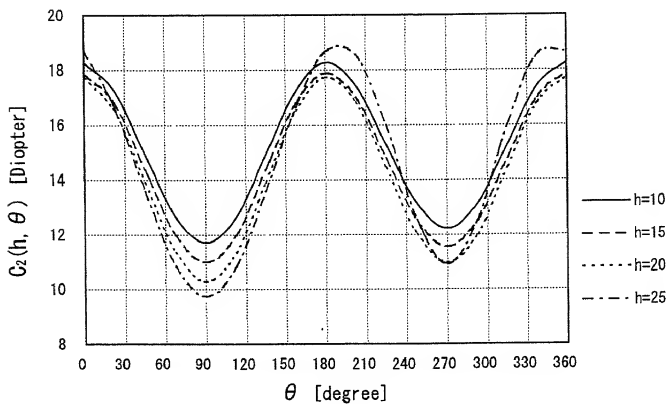


FIG. 63 A

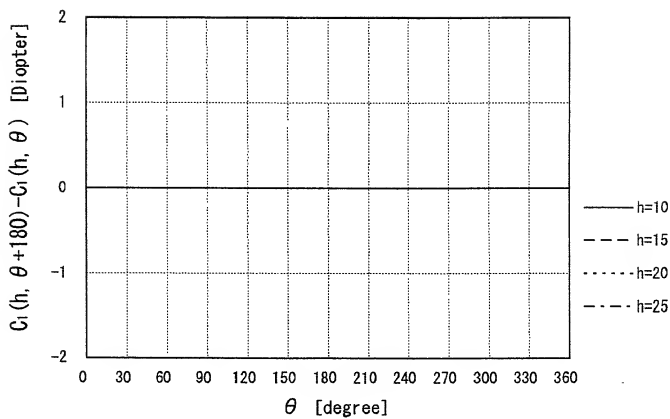


FIG. 63 B

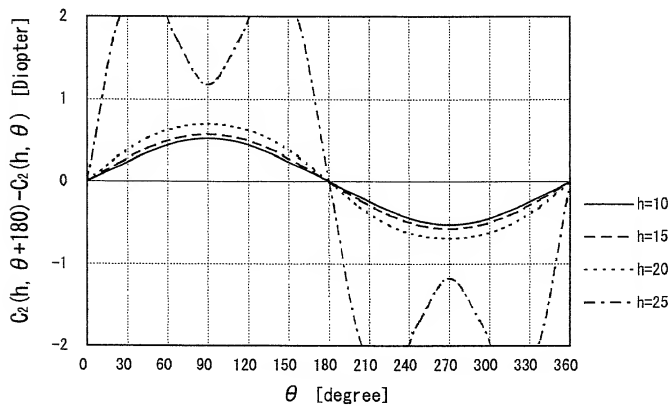


FIG. 64A

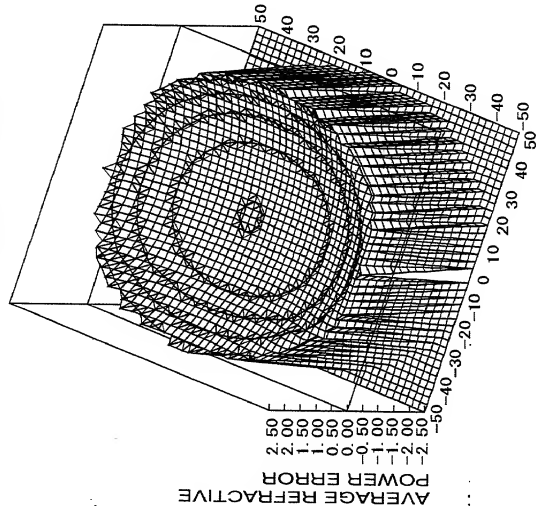


FIG. 64B

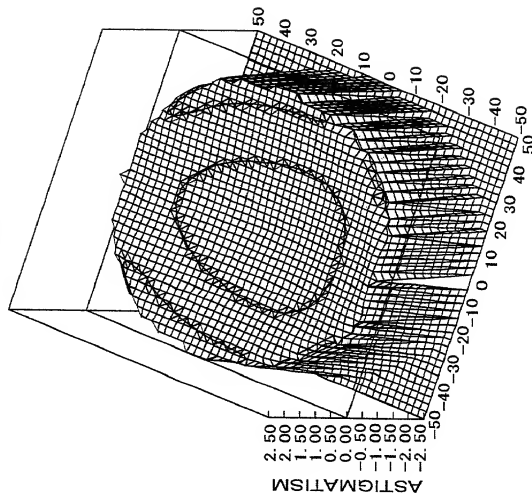


FIG. 65 A

$h \setminus \theta$	$C_1(h, \theta)$							
	0	45	90	135	180	225	270	315
0.0	1.01	1.01	1.01	1.01	1.01	1.01	1.01	1.01
5.0	0.95	0.95	0.95	0.95	0.95	0.95	0.95	0.95
10.0	0.77	0.77	0.77	0.77	0.77	0.77	0.77	0.77
15.0	0.47	0.47	0.47	0.47	0.47	0.47	0.47	0.47
20.0	0.05	0.05	0.05	0.05	0.05	0.05	0.05	0.05
25.0	-0.49	-0.49	-0.49	-0.49	-0.49	-0.49	-0.49	-0.49

FIG. 65 B

$h \setminus \theta$	$C_2(h, \theta)$							
	0	45	90	135	180	225	270	315
0.0	19.05	16.03	13.02	16.03	19.05	16.03	13.02	16.03
5.0	18.87	15.72	12.66	15.72	18.87	15.91	12.89	15.91
10.0	18.35	14.99	11.80	14.99	18.35	15.35	12.32	15.35
15.0	17.42	13.95	10.70	13.95	17.42	14.27	11.17	14.27
20.0	15.76	12.37	9.22	12.37	15.76	12.51	9.50	12.51
25.0	13.54	9.60	7.19	9.60	13.54	10.42	6.67	10.42

FIG. 66

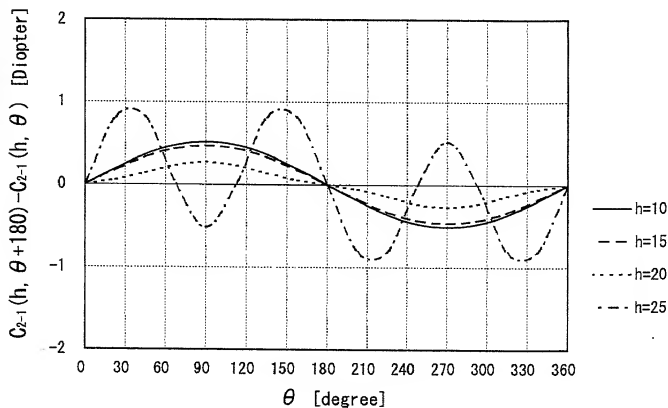


FIG. 67 A

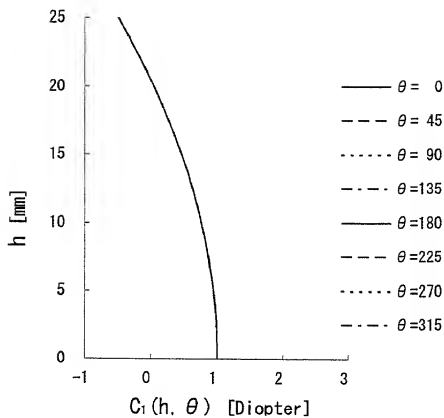


FIG. 67 B

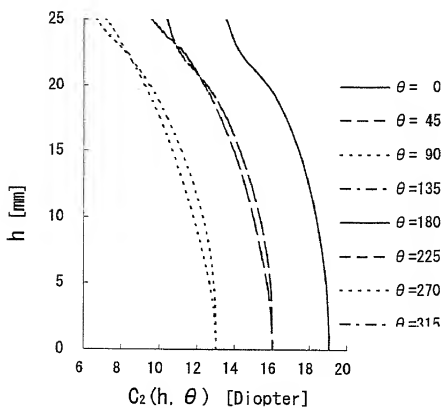


FIG. 68 A

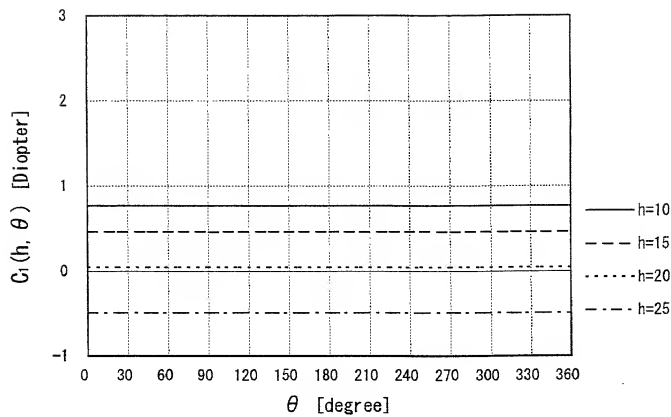


FIG. 68 B

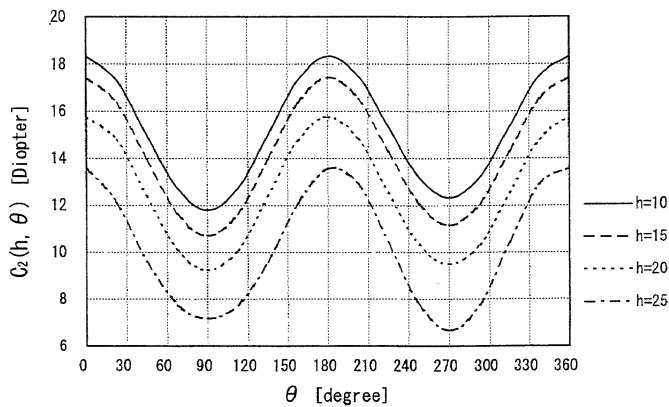


FIG. 69 A

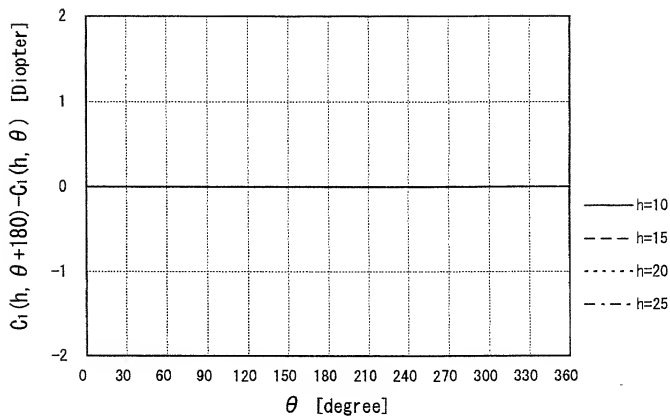


FIG. 69 B

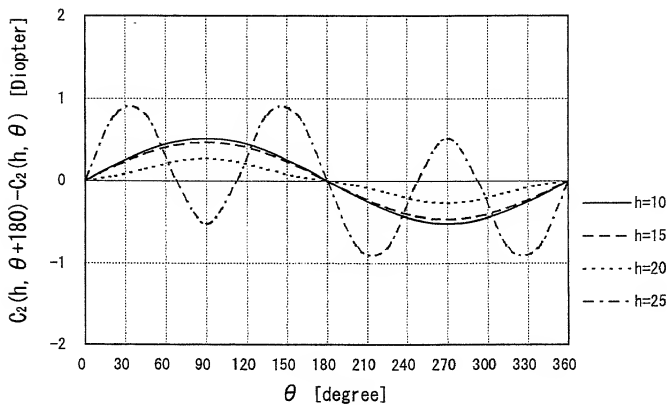


FIG. 70A

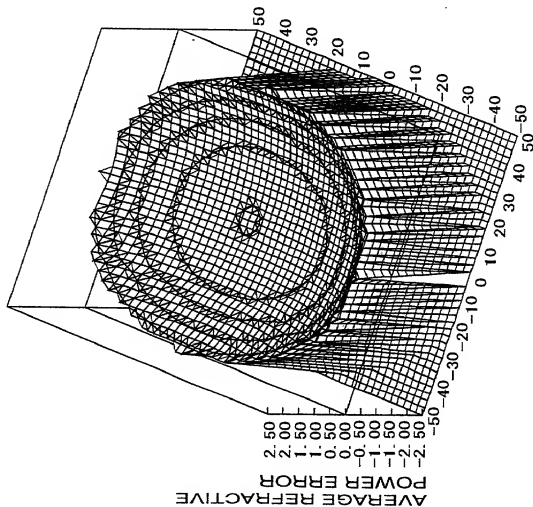


FIG. 70B

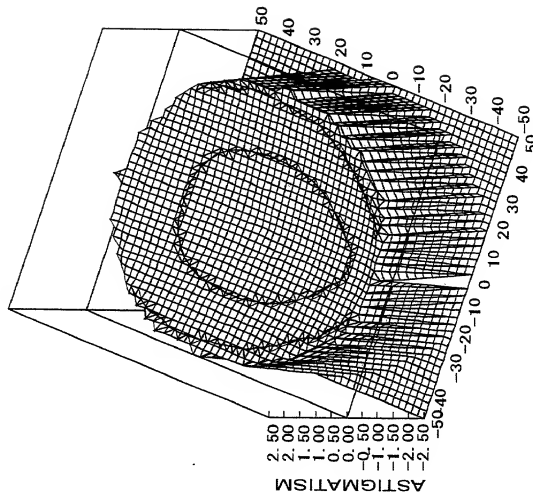


FIG. 71 A

		$C_1(h, \theta)$							
$h \setminus \theta$		0	45	90	135	180	225	270	315
0.0		1.01	1.01	1.01	1.01	1.01	1.01	1.01	1.01
5.0		1.16	1.16	1.16	1.16	1.16	1.16	1.16	1.16
10.0		1.54	1.54	1.54	1.54	1.54	1.54	1.54	1.54
15.0		1.92	1.92	1.92	1.92	1.92	1.92	1.92	1.92
20.0		2.11	2.11	2.11	2.11	2.11	2.11	2.11	2.11
25.0		2.06	2.06	2.06	2.06	2.06	2.06	2.06	2.06

FIG. 71 B

		$C_2(h, \theta)$							
$h \setminus \theta$		0	45	90	135	180	225	270	315
0.0		19.05	16.04	13.04	16.04	19.05	16.04	13.04	16.04
5.0		19.05	16.03	13.04	16.03	19.05	16.03	13.04	16.03
10.0		19.05	16.01	13.04	16.01	19.05	16.01	13.04	16.01
15.0		19.05	15.96	13.04	15.96	19.05	15.96	13.04	15.96
20.0		19.05	15.90	13.04	15.90	19.05	15.90	13.04	15.90
25.0		19.05	15.80	13.04	15.80	19.05	15.80	13.04	15.80

FIG. 72

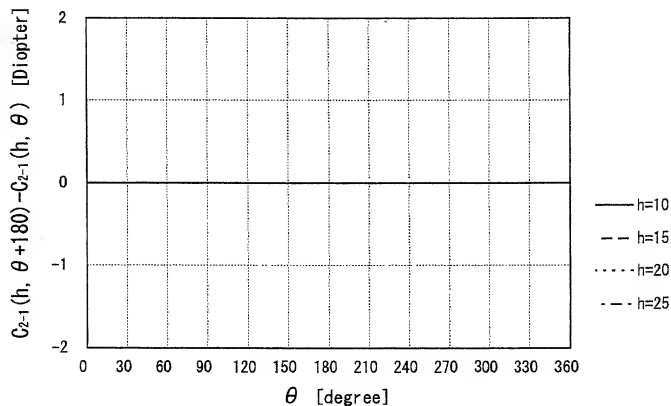


FIG. 73 A

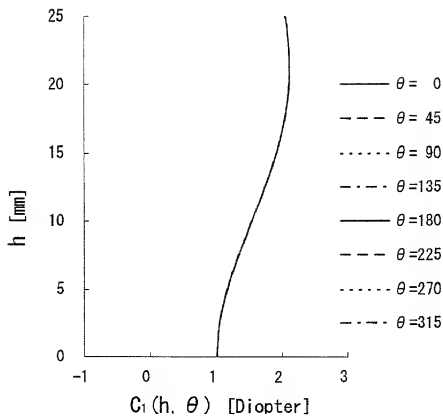


FIG. 73 B

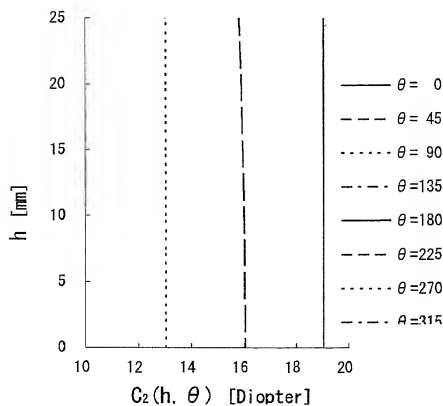


FIG. 74 A

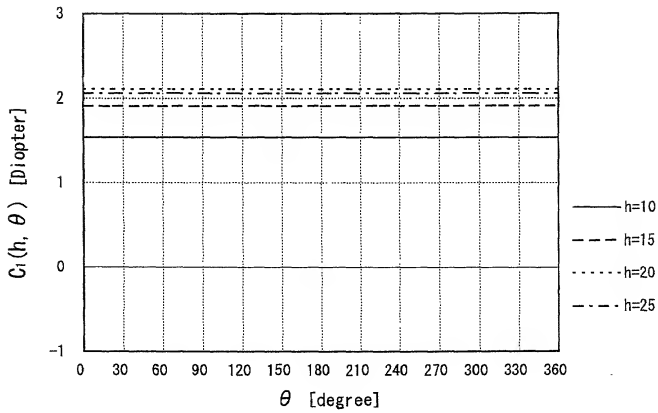


FIG. 74 B

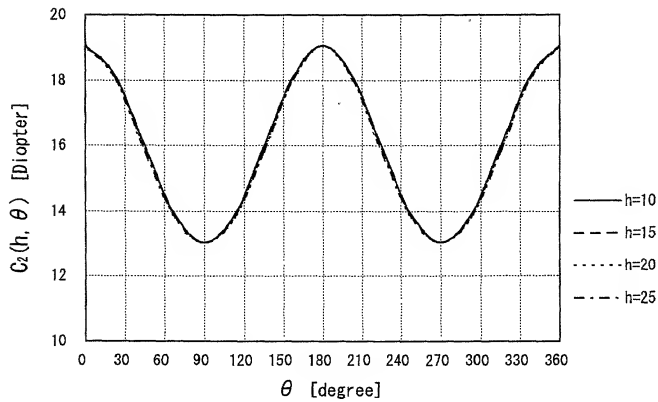


FIG. 75 A

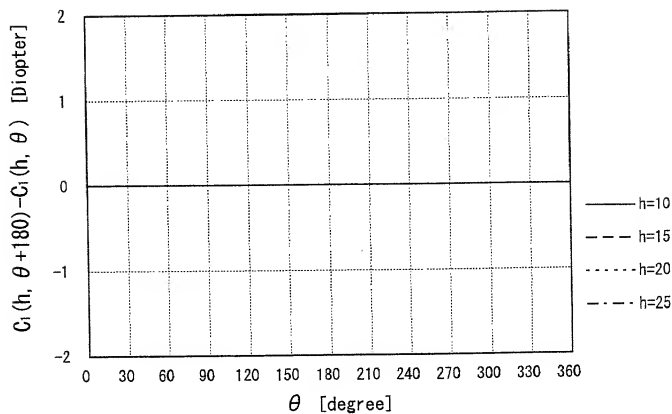


FIG. 75 B

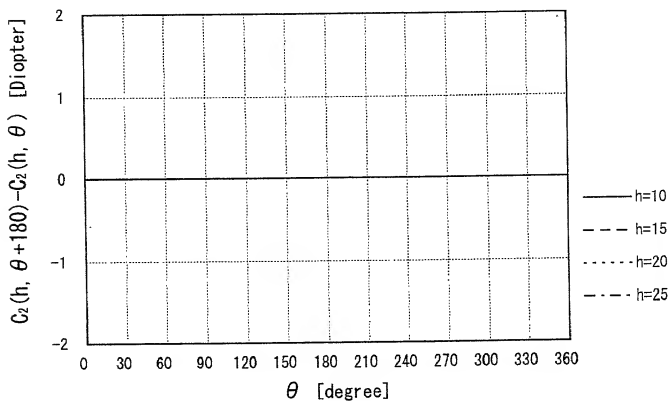


FIG. 76A

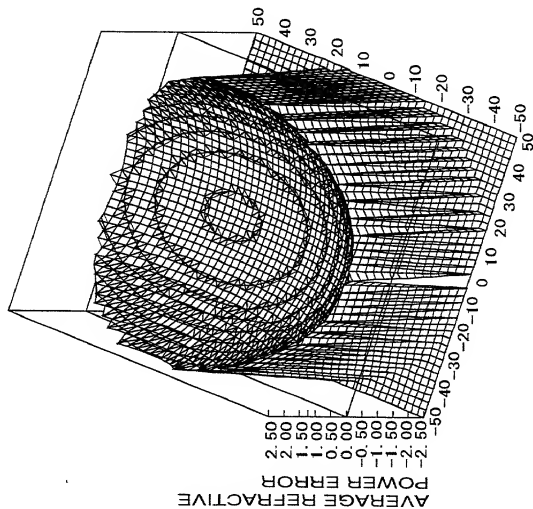


FIG. 76B

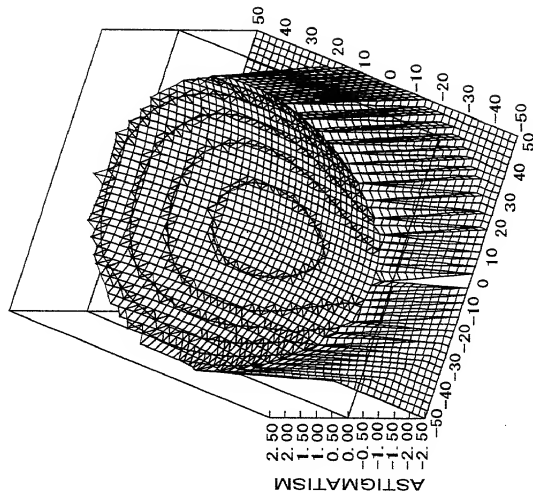


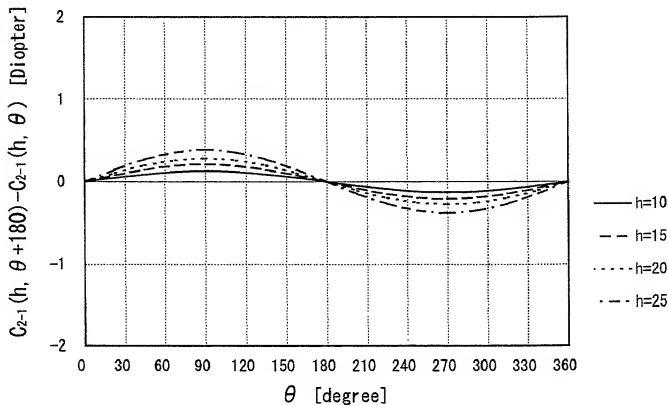
FIG. 77 A

		$C_1(h, \theta)$							
$h \setminus \theta$		0	45	90	135	180	225	270	315
0.0		6.96	6.96	6.96	6.96	6.96	6.96	6.96	6.96
5.0		6.96	6.96	6.96	6.96	6.96	6.96	6.96	6.96
10.0		6.96	6.96	6.96	6.96	6.96	6.96	6.96	6.96
15.0		6.96	6.96	6.96	6.96	6.96	6.96	6.96	6.96
20.0		6.96	6.96	6.96	6.96	6.96	6.96	6.96	6.96
25.0		6.96	6.96	6.96	6.96	6.96	6.96	6.96	6.96

FIG. 77 B

		$C_2(h, \theta)$							
$h \setminus \theta$		0	45	90	135	180	225	270	315
0.0		1.05	1.06	1.06	1.06	1.05	1.06	1.06	1.06
5.0		1.22	1.21	1.21	1.21	1.22	1.24	1.25	1.24
10.0		1.66	1.62	1.60	1.62	1.66	1.71	1.73	1.71
15.0		2.19	2.12	2.10	2.12	2.19	2.27	2.31	2.27
20.0		2.64	2.55	2.51	2.55	2.64	2.74	2.79	2.74
25.0		2.91	2.79	2.74	2.79	2.91	3.06	3.13	3.06

FIG. 78



Year	1990	1991	1992	1993	1994	1995	1996	1997	1998	1999	2000	2001	2002	2003	2004	2005	2006	2007	2008	2009	2010	2011	2012	2013	2014	2015	2016	2017	2018	2019	2020	2021	2022	2023	2024	2025	2026	2027	2028	2029	2030	2031	2032	2033	2034	2035	2036	2037	2038	2039	2040	2041	2042	2043	2044	2045	2046	2047	2048	2049	2050	2051	2052	2053	2054	2055	2056	2057	2058	2059	2060	2061	2062	2063	2064	2065	2066	2067	2068	2069	2070	2071	2072	2073	2074	2075	2076	2077	2078	2079	2080	2081	2082	2083	2084	2085	2086	2087	2088	2089	2090	2091	2092	2093	2094	2095	2096	2097	2098	2099
1990	1991	1992	1993	1994	1995	1996	1997	1998	1999	2000	2001	2002	2003	2004	2005	2006	2007	2008	2009	2010	2011	2012	2013	2014	2015	2016	2017	2018	2019	2020	2021	2022	2023	2024	2025	2026	2027	2028	2029	2030	2031	2032	2033	2034	2035	2036	2037	2038	2039	2040	2041	2042	2043	2044	2045	2046	2047	2048	2049	2050	2051	2052	2053	2054	2055	2056	2057	2058	2059	2060	2061	2062	2063	2064	2065	2066	2067	2068	2069	2070	2071	2072	2073	2074	2075	2076	2077	2078	2079	2080	2081	2082	2083	2084	2085	2086	2087	2088	2089	2090	2091	2092	2093	2094	2095	2096	2097	2098	2099	

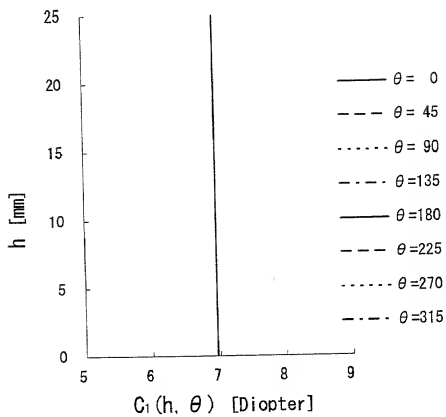


FIG. 79 B

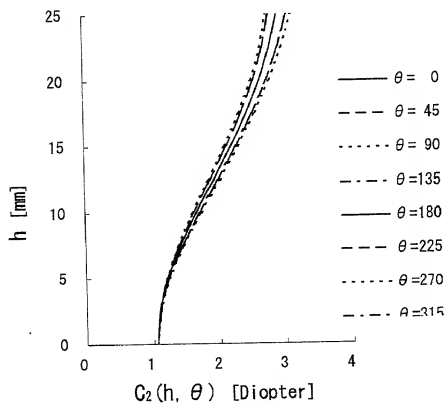


FIG. 80 A

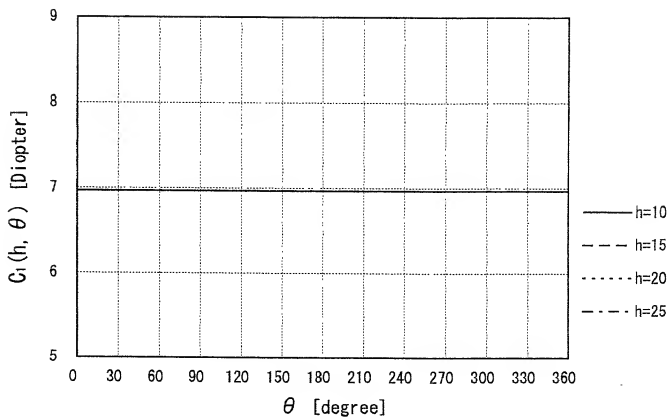


FIG. 80 B

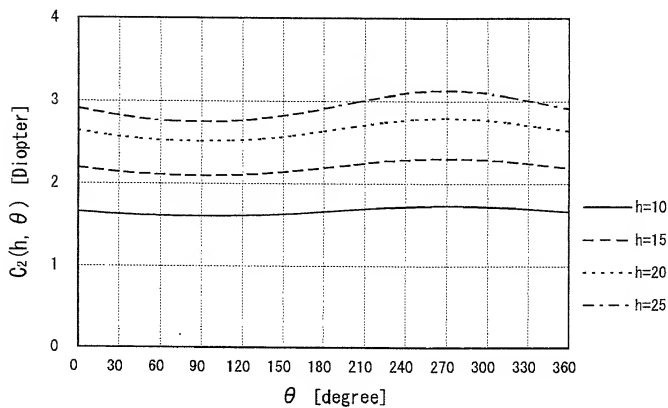


FIG. 81 A

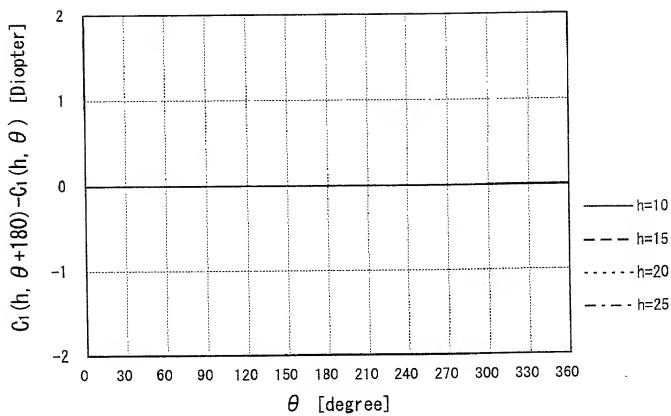


FIG. 81 B

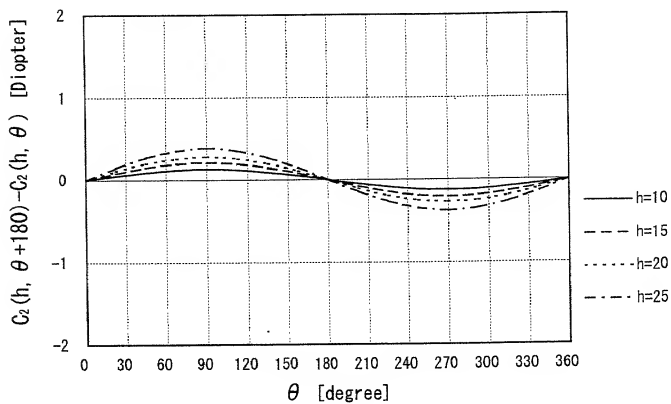


FIG. 82A

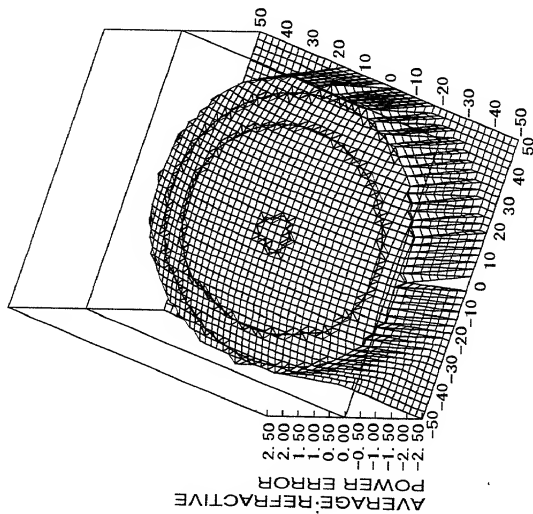


FIG. 82B

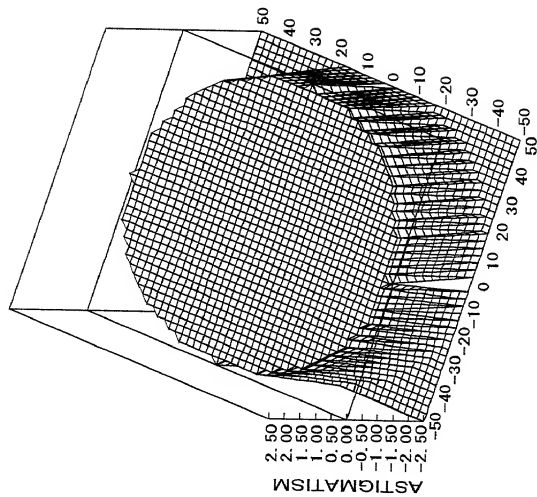


FIG. 83 A

$h \backslash \theta$	$C_1(h, \theta)$							
	0	45	90	135	180	225	270	315
0.0	7.16	7.16	7.16	7.16	7.16	7.16	7.16	7.16
5.0	7.07	7.07	7.07	7.07	7.07	7.06	7.06	7.06
10.0	6.84	6.85	6.86	6.85	6.84	6.82	6.81	6.82
15.0	6.59	6.64	6.65	6.64	6.59	6.55	6.53	6.55
20.0	6.48	6.58	6.62	6.58	6.48	6.38	6.34	6.38
25.0	6.63	6.81	6.89	6.81	6.63	6.45	6.38	6.45

FIG. 83 B

$h \backslash \theta$	$C_2(h, \theta)$							
	0	45	90	135	180	225	270	315
0.0	1.26	1.26	1.26	1.26	1.26	1.26	1.26	1.26
5.0	1.32	1.32	1.32	1.32	1.32	1.32	1.32	1.32
10.0	1.50	1.50	1.50	1.50	1.50	1.50	1.50	1.50
15.0	1.80	1.80	1.80	1.80	1.80	1.80	1.80	1.80
20.0	2.22	2.22	2.22	2.22	2.22	2.22	2.22	2.22
25.0	2.75	2.75	2.75	2.75	2.75	2.75	2.75	2.75

FIG. 84

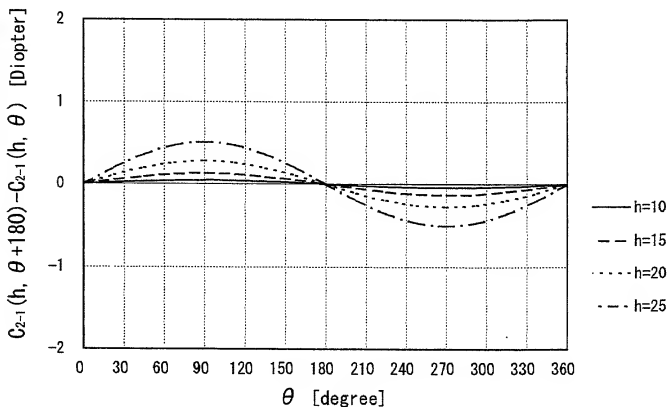


FIG. 85 A

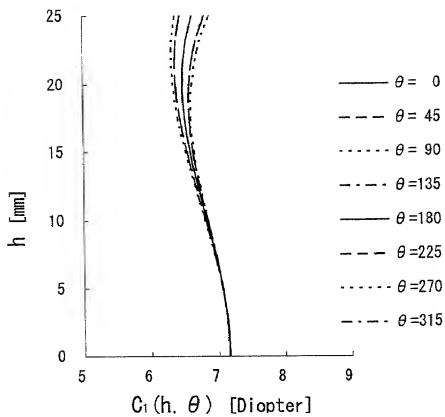


FIG. 85 B

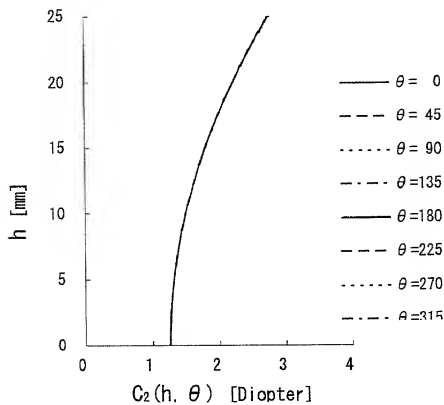


FIG. 86 A

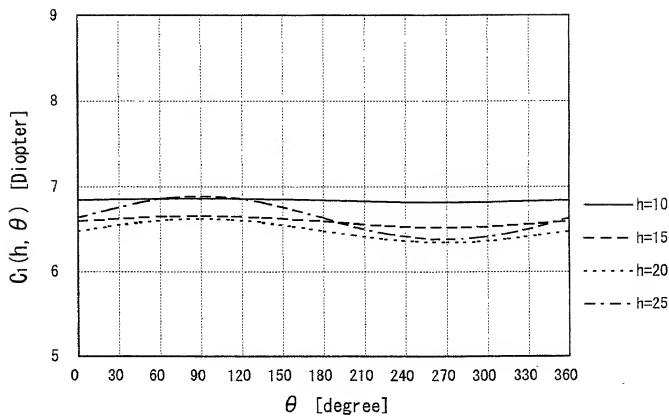


FIG. 86 B

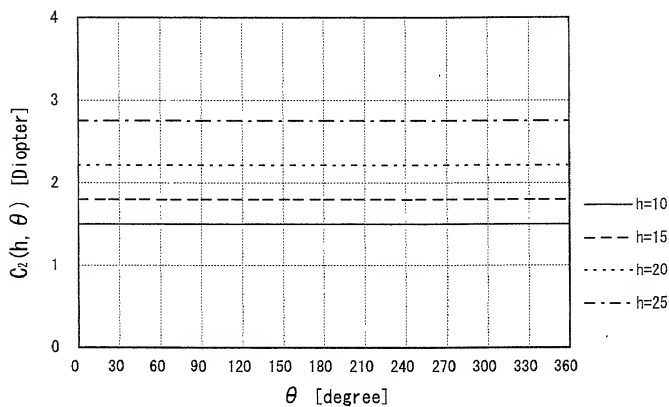


FIG. 87 A

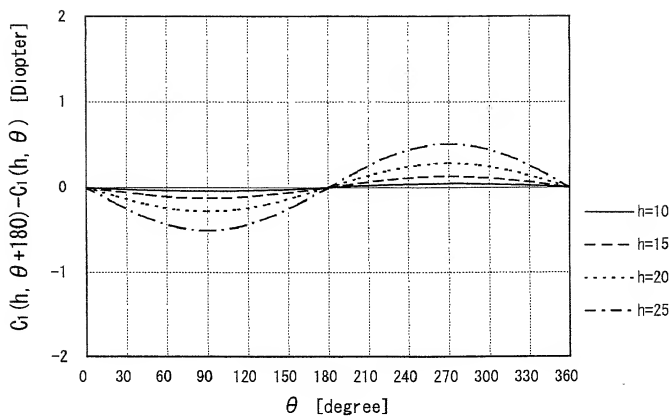


FIG. 87 B

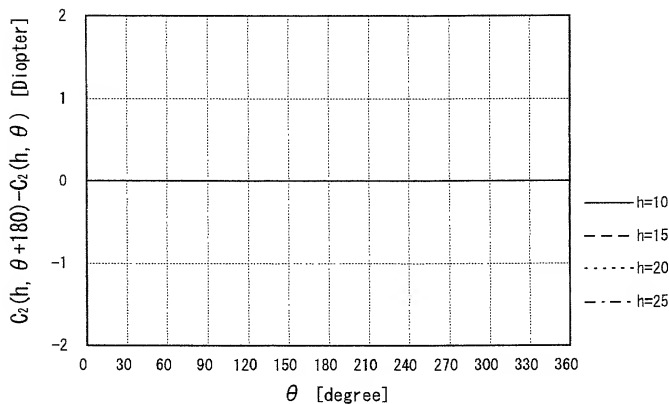


FIG. 88A

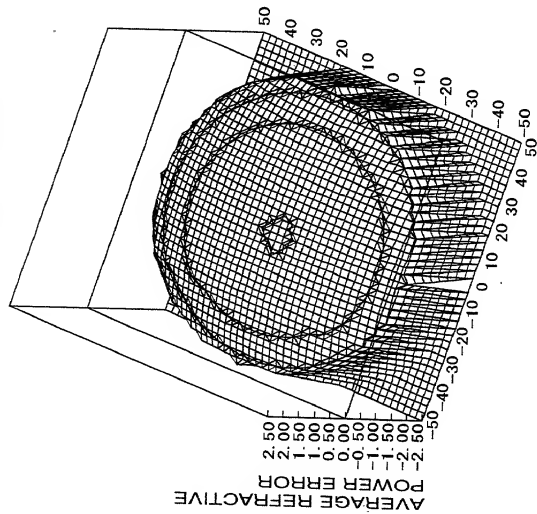


FIG. 88B

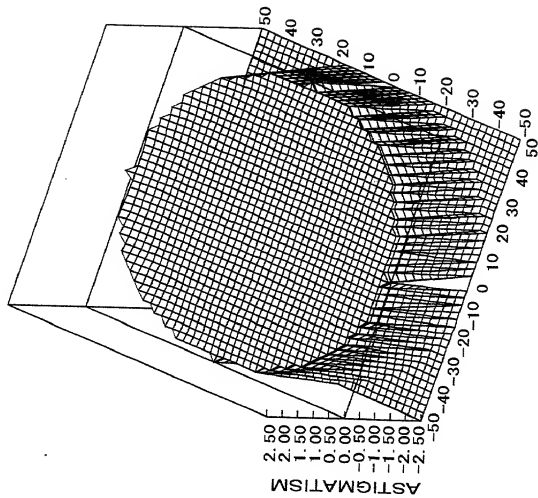


FIG. 89 A

$h \backslash \theta$	$C_1(h, \theta)$							
	0	45	90	135	180	225	270	315
0.0	7.17	7.17	7.17	7.17	7.17	7.17	7.17	7.17
5.0	7.01	7.01	7.01	7.01	7.01	7.01	7.01	7.01
10.0	6.56	6.56	6.56	6.56	6.56	6.56	6.56	6.56
15.0	5.93	5.93	5.93	5.93	5.93	5.93	5.93	5.93
20.0	5.23	5.23	5.23	5.23	5.23	5.23	5.23	5.23
25.0	4.58	4.58	4.58	4.58	4.58	4.58	4.58	4.58

FIG. 89 B

$h \backslash \theta$	$C_2(h, \theta)$							
	0	45	90	135	180	225	270	315
0.0	1.26	1.26	1.26	1.26	1.26	1.26	1.26	1.26
5.0	1.26	1.26	1.26	1.26	1.26	1.26	1.26	1.26
10.0	1.26	1.26	1.26	1.26	1.26	1.26	1.26	1.26
15.0	1.26	1.26	1.26	1.26	1.26	1.26	1.26	1.26
20.0	1.26	1.26	1.26	1.26	1.26	1.26	1.26	1.26
25.0	1.26	1.26	1.26	1.26	1.26	1.26	1.26	1.26

FIG. 90

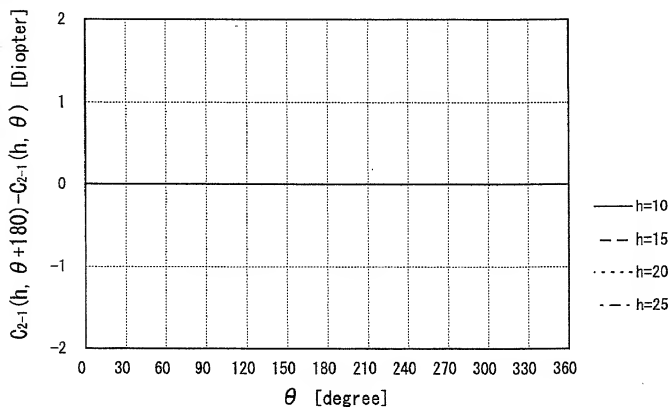


FIG. 91 A

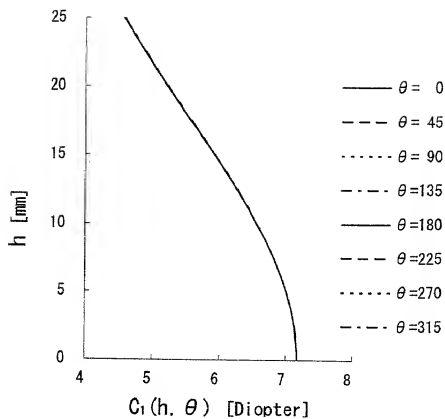


FIG. 91 B

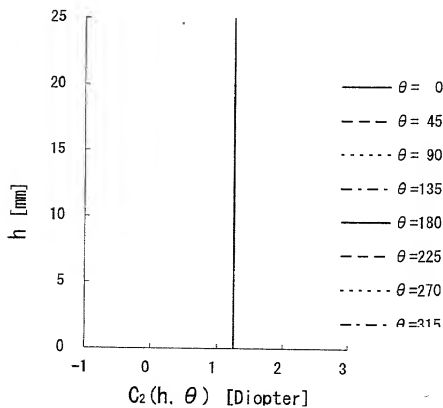


FIG. 92 A

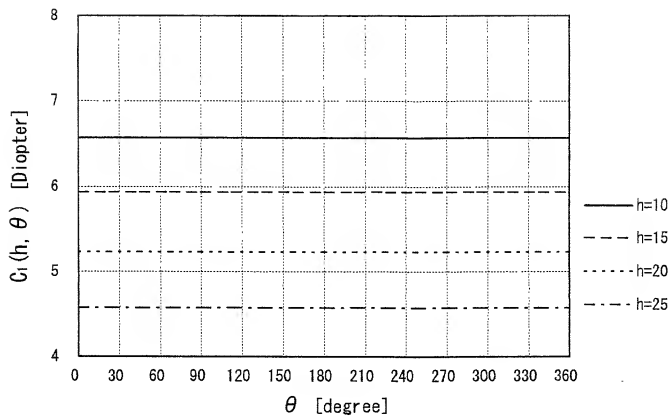


FIG. 92 B

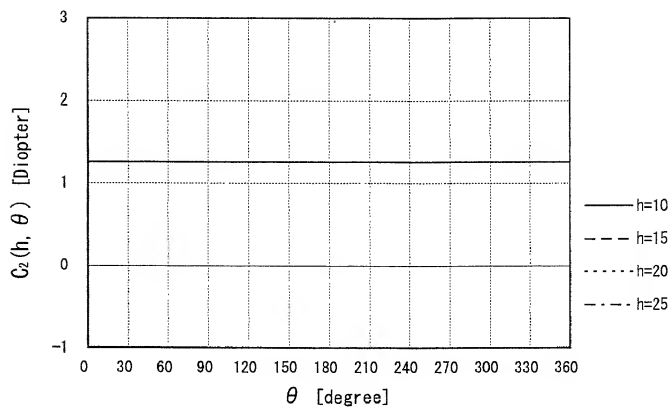


FIG. 93 A

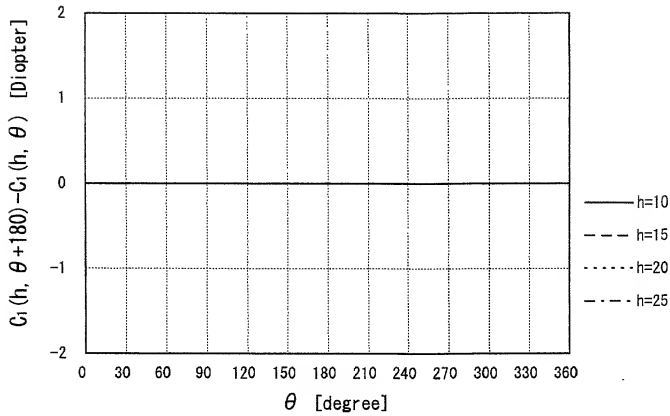


FIG. 93 B

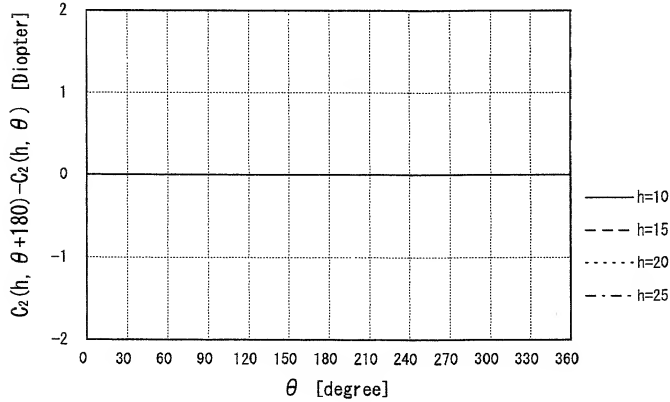


FIG. 94A

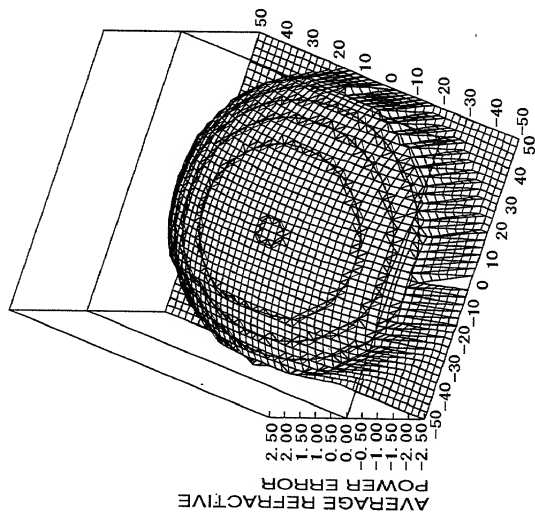


FIG. 94B

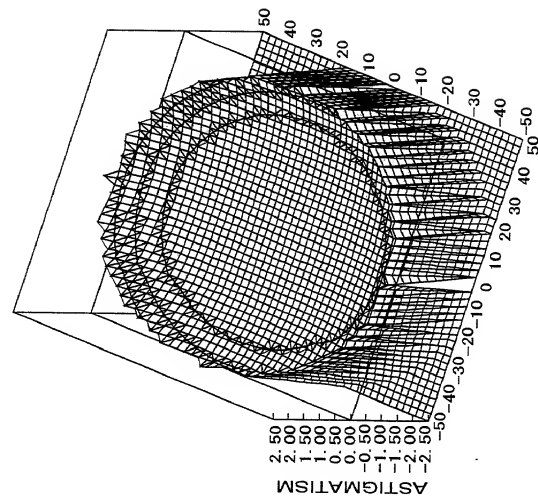


FIG. 95 A

		$C_1(h, \theta)$							
$h \setminus \theta$		0	45	90	135	180	225	270	315
0.0		6.96	6.96	6.96	6.96	6.96	6.96	6.96	6.96
5.0		6.96	6.96	6.96	6.96	6.96	6.96	6.96	6.96
10.0		6.96	6.96	6.96	6.96	6.96	6.96	6.96	6.96
15.0		6.96	6.96	6.96	6.96	6.96	6.96	6.96	6.96
20.0		6.96	6.96	6.96	6.96	6.96	6.96	6.96	6.96
25.0		6.96	6.96	6.96	6.96	6.96	6.96	6.96	6.96

FIG. 95 B

		$C_2(h, \theta)$							
$h \setminus \theta$		0	45	90	135	180	225	270	315
0.0		4.06	1.06	4.06	7.07	4.06	1.06	4.06	7.07
5.0		4.14	1.21	4.09	7.00	4.14	1.24	4.19	7.11
10.0		4.35	1.62	4.20	6.87	4.35	1.71	4.51	7.21
15.0		4.59	2.12	4.37	6.74	4.59	2.27	4.83	7.25
20.0		4.79	2.55	4.53	6.66	4.79	2.74	5.08	7.25
25.0		4.90	2.79	4.59	6.55	4.90	3.06	5.28	7.27

FIG. 96

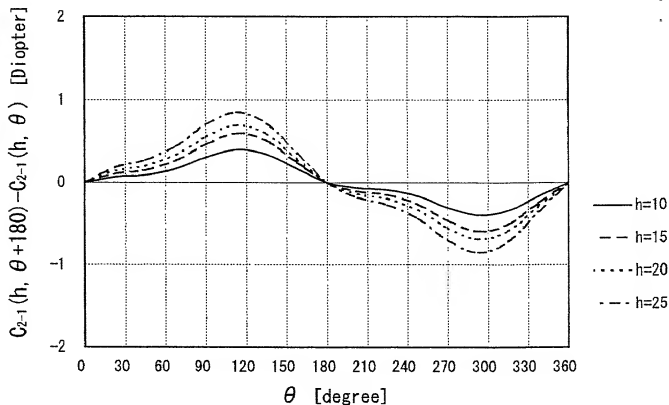


FIG. 97 A

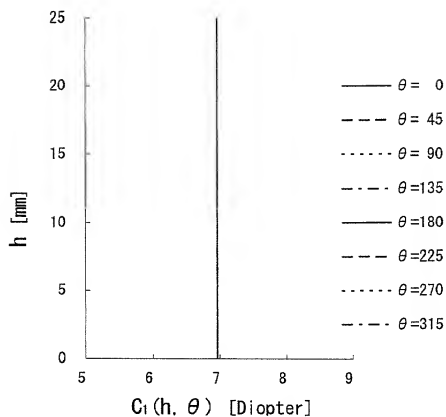


FIG. 97 B

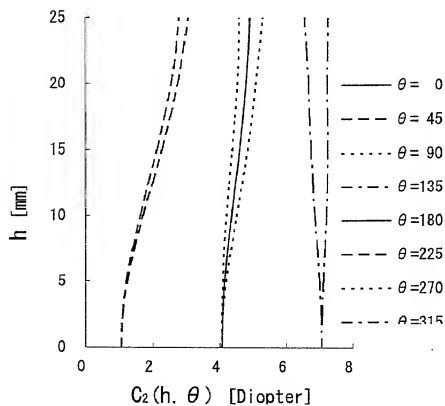


FIG. 98 A

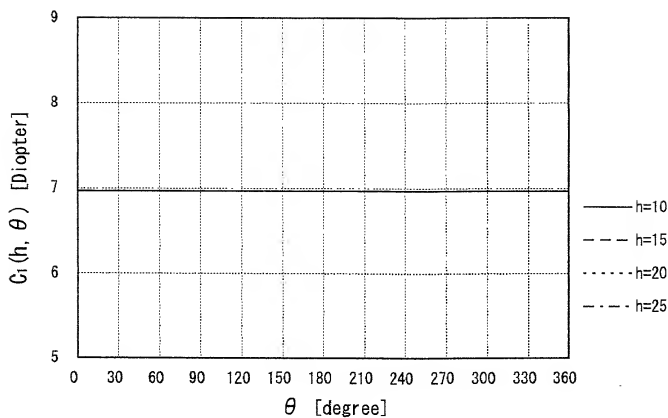


FIG. 98 B

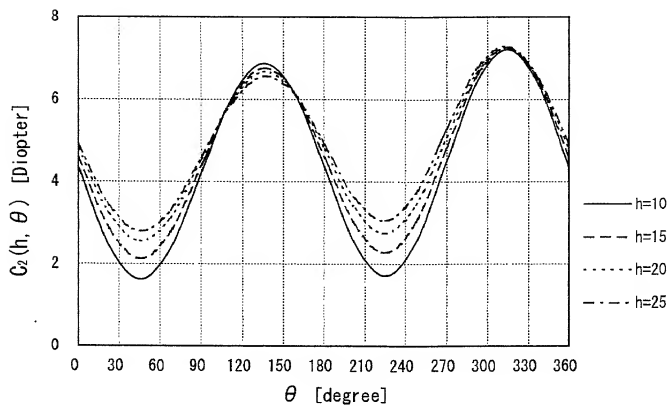


FIG. 99 A

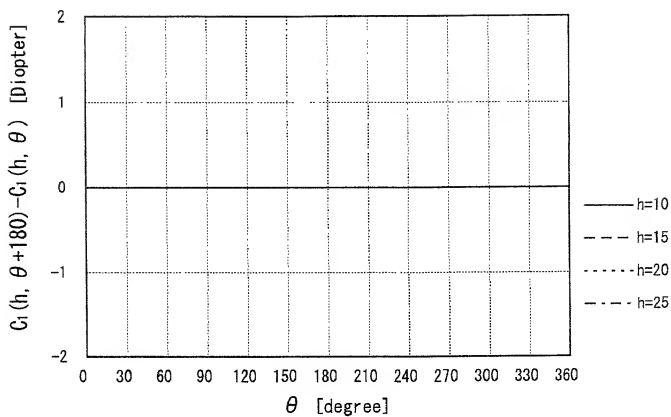


FIG. 99 B

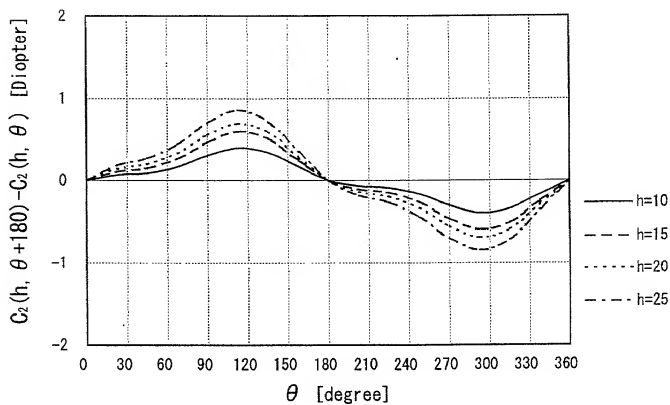


FIG. 100A

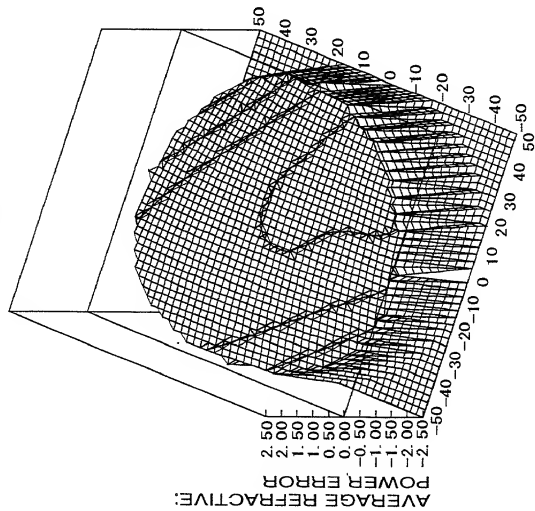


FIG. 100B

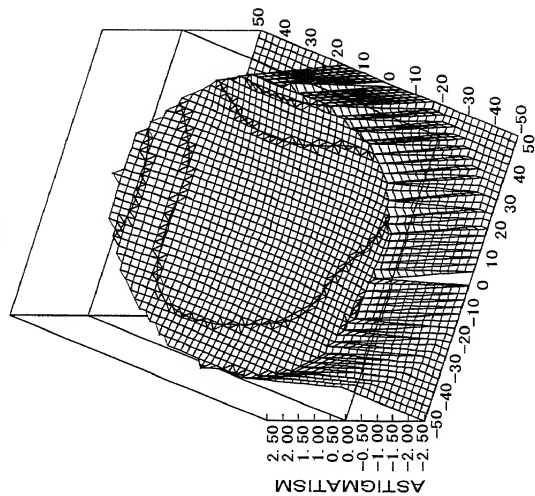


FIG. 101 A

		$C_1(h, \theta)$							
$h \setminus \theta$		0	45	90	135	180	225	270	315
0.0		5.70	7.16	5.70	4.23	5.70	7.16	5.70	4.23
5.0		5.68	7.07	5.71	4.31	5.68	7.06	5.66	4.25
10.0		5.66	6.85	5.75	4.52	5.66	6.82	5.57	4.32
15.0		5.69	6.64	5.86	4.84	5.69	6.55	5.52	4.50
20.0		5.85	6.58	6.11	5.25	5.85	6.38	5.60	4.78
25.0		6.20	6.81	6.58	5.77	6.20	6.45	5.83	5.15

FIG. 101 B

		$C_2(h, \theta)$							
$h \setminus \theta$		0	45	90	135	180	225	270	315
0.0		2.76	1.26	2.76	4.27	2.76	1.26	2.76	4.27
5.0		2.82	1.32	2.82	4.33	2.82	1.32	2.82	4.33
10.0		3.00	1.50	3.00	4.50	3.00	1.50	3.00	4.50
15.0		3.30	1.80	3.30	4.80	3.30	1.80	3.30	4.80
20.0		3.71	2.22	3.71	5.21	3.71	2.22	3.71	5.21
25.0		4.24	2.75	4.24	5.72	4.24	2.75	4.24	5.72

FIG. 102

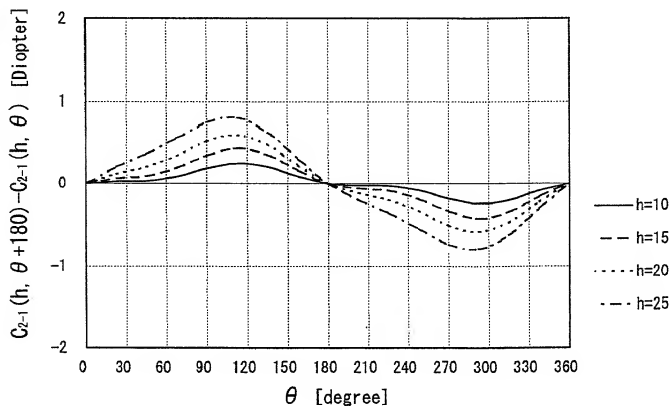


FIG. 103 A

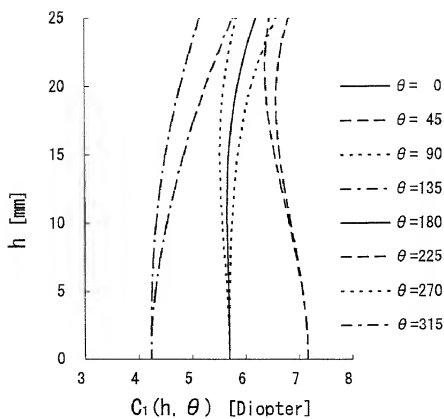


FIG. 103 B

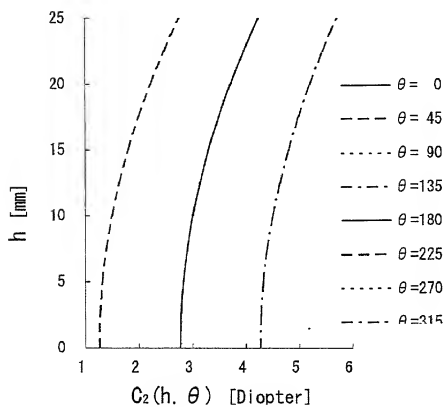


FIG. 104 A

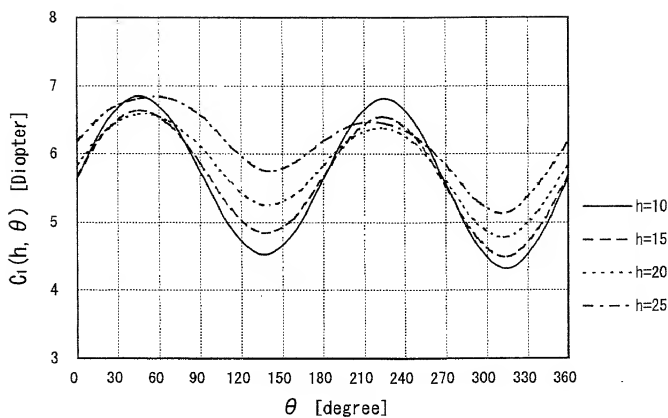


FIG. 104 B

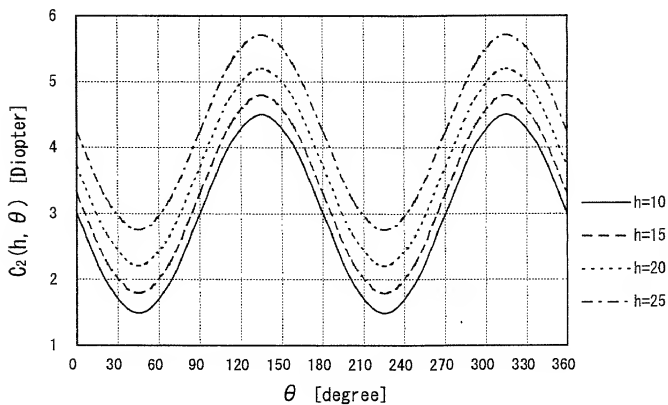


FIG. 105 A

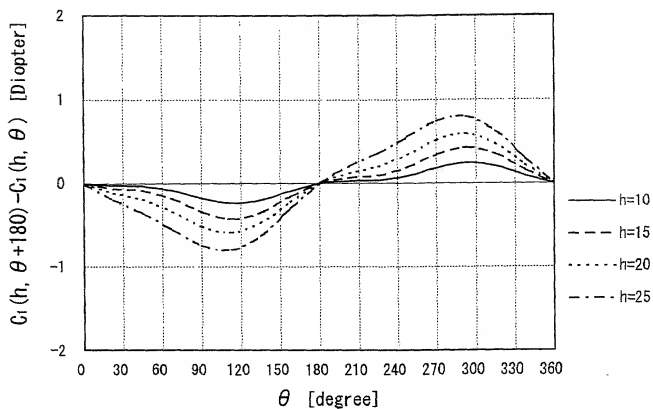


FIG. 105 B

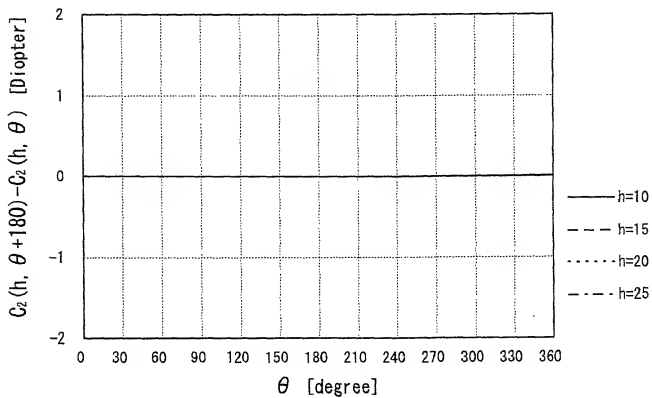


FIG. 106A

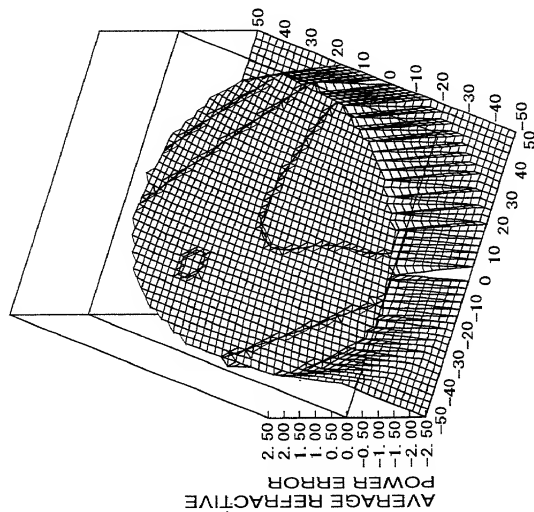


FIG. 106B

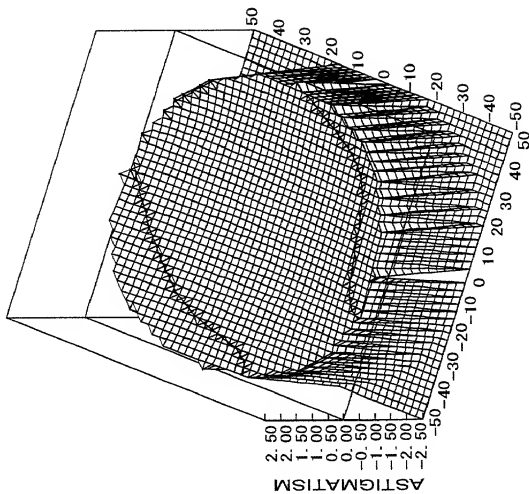


FIG. 107 A

		$C_1(h, \theta)$							
$h \setminus \theta$		0	45	90	135	180	225	270	315
0.0		7.17	7.17	7.17	7.17	7.17	7.17	7.17	7.17
5.0		7.01	7.01	7.01	7.01	7.01	7.01	7.01	7.01
10.0		6.56	6.56	6.56	6.56	6.56	6.56	6.56	6.56
15.0		5.93	5.93	5.93	5.93	5.93	5.93	5.93	5.93
20.0		5.23	5.23	5.23	5.23	5.23	5.23	5.23	5.23
25.0		4.58	4.58	4.58	4.58	4.58	4.58	4.58	4.58

FIG. 107 B

		$C_2(h, \theta)$							
$h \setminus \theta$		0	45	90	135	180	225	270	315
0.0		4.27	1.26	4.27	7.27	4.27	1.26	4.27	7.27
5.0		4.27	1.26	4.27	7.27	4.27	1.26	4.27	7.27
10.0		4.27	1.26	4.27	7.27	4.27	1.26	4.27	7.27
15.0		4.27	1.26	4.27	7.27	4.27	1.26	4.27	7.27
20.0		4.28	1.26	4.28	7.27	4.28	1.26	4.28	7.27
25.0		4.29	1.26	4.29	7.27	4.29	1.26	4.29	7.27

FIG. 108

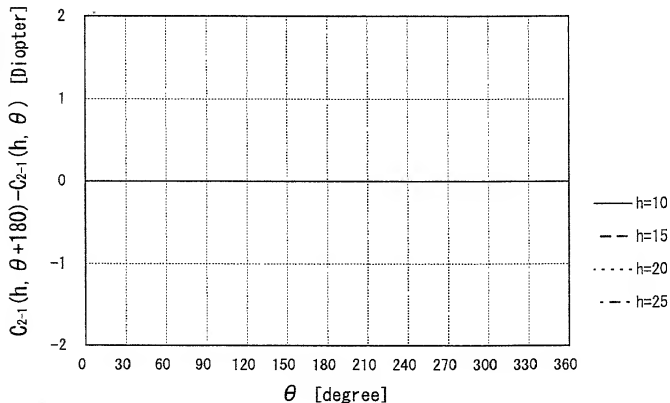


FIG. 109 A

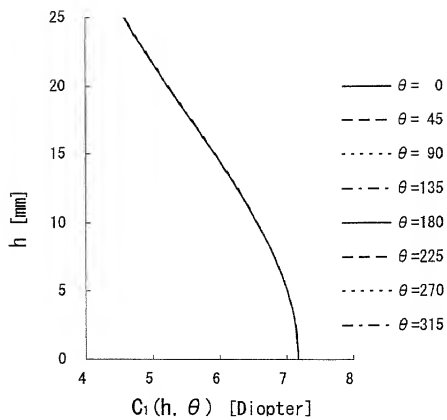


FIG. 109 B

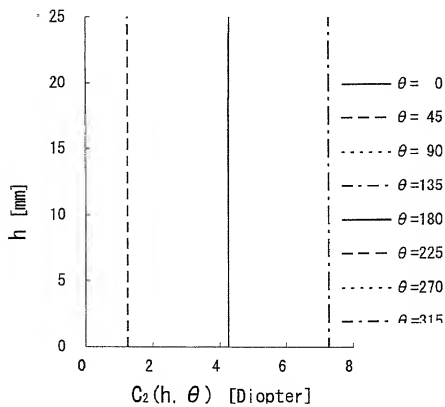


FIG. 110 A

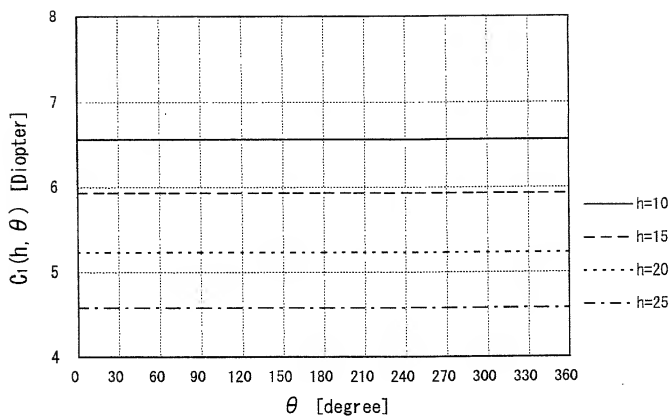


FIG. 110 B

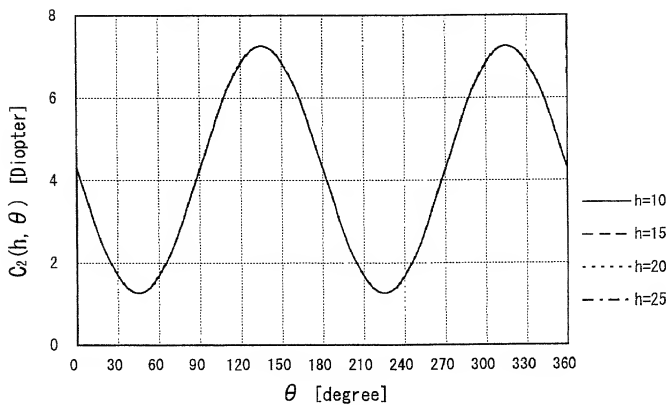


FIG. 111 A

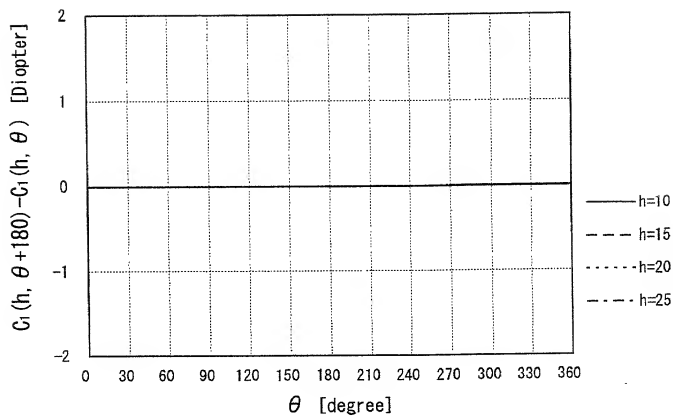


FIG. 111 B

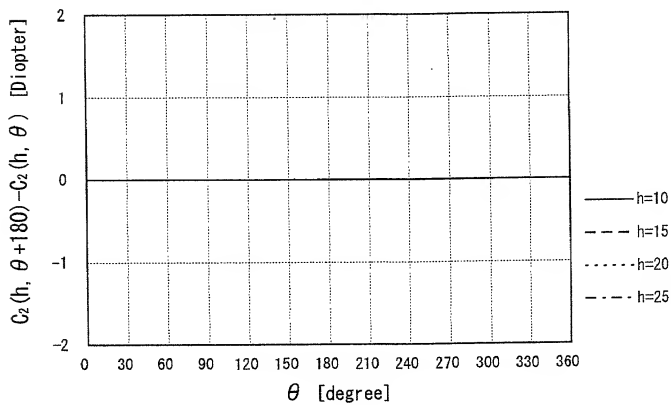


FIG. 112A

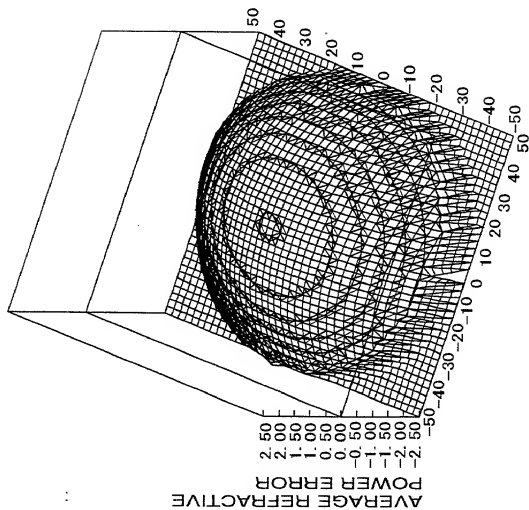
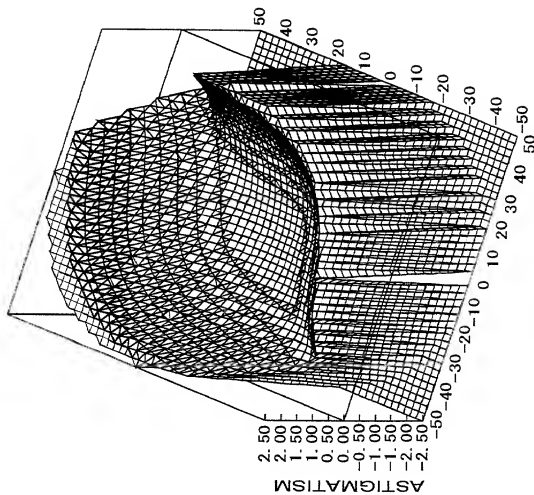
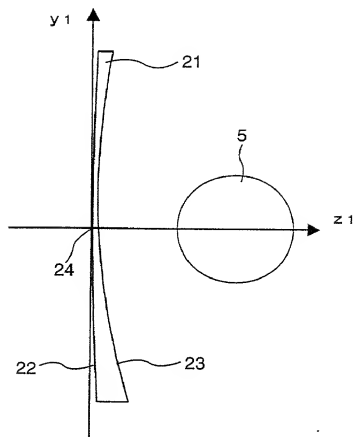


FIG. 112B



PRIOR ART
FIG. 113



PRIOR ART
FIG. 114

